

Ниже задам подробный, но поэтапный план: от текущего состояния (минимальные SM-подобные правила + прототип квантовой гравитации наблюдателя) до **полного симулятора**, который на выходе выдает законы, соответствующие физическим законам нашего мира с точки зрения наблюдателя.

Я разобью план на уровни. В этом сообщении — общая карта + первые два уровня, затем можно детализировать каждый последовательно.

Уровни проекта

0. Зафиксировать «ядро» микродинамики (то, что уже есть).
1. Нормализовать и расширить модель Ω -циклов (частиц) и зарядов.
2. Сформировать эффективную полевую теорию $\phi(x,t)$ + дефекты на ней.
3. Сформировать интерфейс наблюдателя Π_{obs} и модель измерения.
4. Вшить эволюционный поиск законов (RULESET) в контуре: «фундаментальные правила \rightarrow наблюдаемые законы».
5. Калибровать и валидировать, приближая к известной физике (SM+GR).

Уровень 0. Зафиксировать текущее ядро

Из [sm_evolutionary_search.pdf](#) и [quantum_gravity_observer.pdf](#):

- «ядро» правил:

```
SM_RULES = RuleSet([
    Rule(name="charge_swap",      pattern=[ 1,  1, -1], replacement=[-1,
1,  1]),
    Rule(name="charge_swap_inv",   pattern=[-1,  1,  1], replacement=[ 1,
1, -1]),
    Rule(name="stabilizer",        pattern=[ 1,  1,  1], replacement=[ 1,
1,  1]),
])
```

- Эти правила:

- локальны (окно из 3 узлов),
- обратимы (две взаимные инволюции + стабилизатор),
- порождают богатый спектр Ω -циклов (671 циклов, периоды от 2 до 36).

Шаг 0.1. Зафиксировать это как *минимальное фундаментальное RSL-ядро*:

- Микросостояние:

$S(t): [L_0: s_0 \mid s_1 \mid \dots \mid s_{\{N-1\}}]$, $s_i \in \{+1, -1\}$

- Микродинамика:

- эволюция за один шаг: применить все возможные SM_RULES по выбранной схеме (например, слева направо, без перекрытия).

Уровень 1. Нормализовать и расширить модель Ω -циклов

1.1. Стандартизировать детектор Ω -циклов

У вас уже есть `CycleDetector` в `world.omega.cycles`. Нужно:

1. Явно определить Ω -цикл:

- патологический цикл длины p :

$$\Omega: S_0 \rightarrow S_1 \rightarrow \dots \rightarrow S_{p-1} \rightarrow S_0$$

- с условием локализованности:

- паттерн отличий от вакуума (напр. `+++...+`) ограничен окном длиной L_Ω .

2. Ввести класс:

```
@dataclass
class OmegaCycle:
    period: int
    support_indices: List[int]    # где дефект локализован
    pattern_sequence: List[np.ndarray] # S_0,..,S_{p-1} локально
```

3. Определить энергию ядра:

- микроЕНСИОН:

```
def H_micro(S):
    # J = 1
    return sum(1 for i in range(N-1) if S[i] != S[i+1])
```

- энергия ядра цикла:

```
H_core( $\Omega$ ) = (1/p) * sum(H_micro(S_k) - H_micro(vacuum)) # по
k=0..p-1
```

4. Определить «массу» Ω -частицы:

- в модельных единицах:

```
mass( $\Omega$ ) = H_core( $\Omega$ )
```

или, если хотите «частоту»:

```
 $\omega_0 = 2\pi / \text{period}$ 
mass ~  $\omega_0$  # или  $\alpha * \omega_0$ 
```

Задача: собрать **каталог Ω -циклов** (тип – период – H_{core} – профиль).

1.2. Ввести структуру зарядов (как вы предложили)

Каждому Ω -циклу (типу) приписать:

- Цвет: $C \in \{0,1,2\}$ (r,g,b)
- Электрический заряд: $Q \in \{-1, -2/3, -1/3, 0, +1/3, +2/3, +1\}$
- Слабый изоспин: $I_3 \in \{-1/2, 0, +1/2\}$
- Барионное число: $B \in \{0, 1/3\}$

- Лептонное число: $L \in \{0, 1\}$

Алгоритм присвоения (первая версия):

1. Для каждой обнаруженной орбиты Ω :

- взять её период p ,
- энергию H_{core} ,
- форму паттерна.

2. Классифицировать их по периодам в «семейства»:

- короткие периоды → «лёгкие» частицы (например, лептоны),
- средние → «кваркоподобные»,
- длинные → «резонансы».

3. Ручным (пока) маппингом определить несколько прототипов:

- Ω с периодом $p \approx 2-4$ → «нейтрино/электрон» ($L=1, B=0, Q=0/-1$),
- Ω с $p \approx 6-10$ → « u/d -кварки» ($B=1/3, L=0, Q=\pm 1/3, \pm 2/3, C \neq 0$),
- Ω с смешанными профилями → «глюоноподобные/бозонные» ($C \neq 0, B=L=0, Q=0$).

Формализация в коде:

```
@dataclass
class OmegaType:
    period: int
    H_core: float
    color: int
    Q: float
    I3: float
    B: float
    L: float
    pattern_signature: Tuple[int, ...] # e.g., local pattern of s's
```

В дальнейшем вы сможете эволюционно оптимизировать это присвоение.

1.3. Ввести мета-правила для сохранения зарядов

Дополнительно к уже реализованной `charge_conservation` (по чётности):

- сделать функцию `compute_charges(S)`:

```
def compute_charges(S, omega_catalog) -> Dict[str, float]:
    # пройти по всем поддержкам  $\Omega$ -циклов (или приближительным детекциям),
    # суммировать  $Q$ ,  $B$ ,  $L$ , цвет и т.д.
    return {'Q': ΣΩ Q, 'B': ΣΩ B, 'L': ΣΩ L, 'color_sum': ΣΩ color}
```

- в фитнесе и F-фильтрах требовать:

- сохранение $\Sigma Q, \Sigma B, \Sigma L, \Sigma(\text{color}) \bmod 3$ между начальным и финальным S .

Уровень 2. Сформировать эффективную полевую теорию $\phi(x,t)$

С опорой на формулы в [quantum_gravity_observer.pdf](#):

2.1. Coarse-поле $\phi_R(i)$

Определение:

```
def phi_R(S, R):
    N = len(S)
    φ = np.zeros(N)
    for i in range(N):
        # окно B_R(i)
        left = max(0, i-R)
        right = min(N, i+R+1)
        block = S[left:right]
        φ[i] = np.mean(block) # при S[i] ∈ {+1, -1} → [-1, 1]
    return φ
```

- Это дискретная версия:
 $\phi_i(R)=\frac{1}{|BR(i)|}\sum_{j \in BR(i)} s_j$.

2.2. Энергия поля $H[\phi]$

МикроЕNSION:

```
def H_micro(S):
    return sum(1 for i in range(len(S)-1) if S[i] != S[i+1])
```

Полевой $H[\phi]$:

```
def H_field(φ, κ=1.0, m2=1.0, λ=0.0):
    # простейший вариант:  $(1/2)\kappa(\partial\phi)^2 + (1/2)m^2\phi^2 + (\lambda/4)\phi^4$ 
    grad2 = np.sum((φ[1:] - φ[:-1])**2)
    pot = np.sum(0.5*m2*φ**2 + 0.25*λ*φ**4)
    return 0.5*κ*grad2 + pot
```

Шаг 2.1. Проверка RSL-совместимости:

- Для разных R (скажем, $R=3, 5, 7$) измерять:

```
φ_R = phi_R(S, R)
Hμ = H_micro(S)
Hf = H_field(φ_R)
```

- проследить эмпирически, что:

$$|Hμ - Hf| \lesssim \mathcal{O}(1/R)$$

во всех «типичных» состояниях, рождаемых SM_RULES.

2.3. Эффективное уравнение движения $\phi(x,t)$

В идеале, вы хотите, чтобы эволюция $S(t)$ под SM_RULES:

- в крупном масштабе соответствовала:

$$\partial t^2 \phi = \kappa \partial x^2 \phi - V'(\phi)$$

Практический алгоритм:

- Зафиксировать R (например, 5–7).
- Генерировать последовательность $S(t)$ на шаги $t=0..T$.

3. На каждом шаге считать $\phi_R(t,i)$.

4. Аппроксимировать:

$$\begin{aligned}\varphi_{tt} &\approx \varphi(t+1,i) - 2\varphi(t,i) + \varphi(t-1,i) \\ \varphi_{xx} &\approx \varphi(t,i+1) - 2\varphi(t,i) + \varphi(t,i-1)\end{aligned}$$

5. Пытаться подобрать κ и $V(\phi)$ (например, $m^2\phi + \lambda\phi^3$), минимизируя:

$$\text{error} = \sum_{t,i} (\varphi_{tt} - \kappa * \varphi_{xx} + dV/d\phi(\phi))^2$$

Это можно сделать:

- либо аналитически (малый амплитудный режим \rightarrow линейное уравнение),
- либо численной регрессией.

Цель уровня 2: добиться того, чтобы $\phi(x,t)$ можно было **аппроксимировать полевым уравнением** с разумными κ, m, λ , что и станет вашим первым «эффективным законом».

2.4. Capacity и «метрика»

Из ноутбука:

CapacityCalculator: $\text{capacity}(x) = f(H_{\text{local}}(x), \text{neighborhood})$.

Ваш прототип:

- локальная tension:
 $h_i(S) = \text{int}(S[i] != S[i-1]) + \text{int}(S[i] != S[i+1])$
- capacity:
 $C_i(S) = C_0 - \alpha * h_i(S)$

Для гравитационной интерпретации:

- «темп времени» для наблюдателя в точке i :
 $d\tau_i / dt \propto C_i(S)$ # чем меньше capacity, тем медленнее «идёт время»
- эффективная метрика 1+1:
 $ds^2 = -f(C_i) dt^2 + g(C_i) dx^2$

где $f(C), g(C)$ — эмпирические функции, например:

- $f(C) \sim C$,
- $g(C) \sim 1/C$.

Шаг 2.2. Считать C_i вдоль решётки и визуализировать:

- $C(x,t)$ и $\phi(x,t)$;
- траектории Ω -циклов на этом фоне \rightarrow увидеть, что они ведут себя так, как «частицы в гравполе» (замедления, захваты).

На этом месте логично остановиться, чтобы не перегружать одно сообщение.

Дальше (в следующих сообщениях) можно по уровням:

- Уровень 3: построить Π_{obs} (наблюдателя) поверх этого поля и Ω -циклов:
 - как он видит пространство, время, частицы, измерения;
 - как возникает вероятность (ψ , $|\psi|^2$).
- Уровень 4: интегрировать эволюционный поиск:
 - как F (самоприменимый функтор) модифицирует RULESET,
 - отбирая те, где *наблюдательские* законы (ф-уравнения, спектр Ω , метрика, вероятностная структура) максимально SM+GR-подобны.
- Уровень 5: калибровка под «наш мир»:
 - на уровне качественных свойств (локальность, Лоренц-подобие, тип спектра),
 - и, если будет нужно, приближение численных соотношений (отношения масс, константы взаимодействия и т.п.).

Если хотите, в следующем сообщении могу подробно расписать **Уровень 3: как именно сконструировать Π_{obs}** , чтобы он из 1D-мира с $\phi(x,t)$ и Ω -циклами видел «4D-подобную» физику (пространство-время + частицы + квантовую статистику).

Ниже продолжу от той точки, где вы сейчас находитесь с симулятором, и свяжу:

- уже полученный результат эволюции (+ + - \leftrightarrow - + +, + + + \rightarrow + + +);
- цели: выйти на симулятор, который «на выходе» даёт законы, соответствующие физике нашего мира с точки зрения наблюдателя.

Сделаю это в виде следующих шагов:

1. Зафиксировать текущее «ядро» как базовый RSL-мир.
2. Построить поверх него каталог Ω -циклов и их эффективные параметры (масса, заряды).
3. Ввести наблюдателя и интерфейс Π_{obs} (то, что он «видит»).
4. Вшить эволюционный поиск не только по RULESET, но и по интерфейсам/наблюдателям.
5. Дальше — критерии сходства с физикой нашего мира.

С учётом уже присланного фрагмента вывода (`sm_evolutionary_search.pdf`) сейчас детализирую шаги 1–3 для вашей конфигурации.

1. Ядровой RULESET: что у вас уже есть и почему это важно

По логам:

- Эволюционный поиск (50 поколений, популяция 30) нашёл устойчивый максимум для правил длины 3:

$$\begin{array}{l} ++- \leftrightarrow -++ \\ + + + \rightarrow + + + \end{array}$$
- Все топ-5 геномов совпали с этими правилами (fitness=105.80, компоненты все =10.0).
- Simulated Annealing не смог улучшить этот результат, а только немного снизил фитнес (`refined_fitness ≈ 103.64 →` та же структура правил).

Это значит:

1. Для вашего текущего **SMFitness** (cycle_diversity, cycle_count, charge_conservation, stability, nontrivial_dynamics, interaction_richness) система обнаружила **аномально «богатую» динамику** на основе всего двух правил:

- charge_swap / charge_swap_inv:
 $++- \leftrightarrow -++$
- stabilizer:
 $+++ \rightarrow +++.$

2. Анализ:

- 75 шагов эволюции;
- 2402 применений правил;
- 671 обнаруженных Ω -циклов;
- периоды цикла разнообразны: от 2 до 36.

Следовательно, для **первой версии полного симулятора** вы можете принять:

SM_RULES_core = {++- ↔ -++, +++ → +++}

как **микроскопическое ядро RSL-динамики**, внутри которого:

- «вакуум» = $+++ \dots +$,
- возмущения = - на фоне +,
- взаимодействия = перестановки $++- \leftrightarrow -++$, формирующие богатый спектр Ω -циклов.

Все дальнейшие слои (поля, частицы, наблюдатель, законы) будут надстраиваться именно над этим ядром.

2. Каталог Ω -циклов и эффективные параметры

В логах:

Обнаружено Ω -циклов: 671

Периоды: Counter({2: 37, 4: 35, 6: 33, 8: 32, 12: 32, 10: 31, ...})

Нужно превратить это в формальный каталог «частиц» / типов Ω -циклов.

2.1. Структура данных

Добавьте модуль, который для каждой обнаруженной орбиты Ω сохраняет:

```
@dataclass
class OmegaCycle:
    period: int
    support: Tuple[int, ...]           # индексы ячеек, где состояние ≠ вакууму
    patterns: List[np.ndarray]         # локальные паттерны S_k на support
    H_core: float                      # средняя сверхэнергия
    id: int                            # уникальный идентификатор
```

Где:

- period — длина цикла p;

- support — минимальный набор позиций, где конфигурация отличается от +++...+ (локализация дефекта);
- patterns — последовательность локальных состояний в этом окне по циклу завязки;
- H_core — средний H_micro на цикле минус H_micro вакуума.

2.2. Энергия и «масса»

Используйте уже реализованный H_micro:

```
def H_micro(S):
    return sum(1 for i in range(len(S)-1) if S[i] != S[i+1])
```

Тогда для одного Ω :

```
H_core = (1/period) * sum(H_micro(S_k) - H_micro(vacuum) for S_k in cycle)
mass = H_core # в модельных единицах (пока без  $\hbar, c$ )
```

Можно также сохранить «частоту»:

```
omega0 = 2*np.pi / period
```

и рассматривать mass ~ omega0, если хотите связать с RSL-формулой $E=\hbar\omega_0$.

2.3. Классы Ω -типов

Дальше шаг: сгруппировать Ω -циклы в классы частиц по:

- периоду (или интервалам периодов),
- H_core,
- формам паттерна.

Например:

```
class OmegaType:
    name: str
    mean_period: float
    mean_H_core: float
    members: List[OmegaCycle]
    # будущие поля: зарядовые теги, цвет и т.п.
```

Реализуется как кластеризация (k-means по [period, H_core]) или просто ручное разбиение по диапазонам.

Этот слой — «зоопарк частиц» вашего 1D-мира.

3. Добавление зарядов и законов сохранения

Ваш вопрос о структуре зарядов: вы предложили SM-совместимую схему (цвет Z₃, Q, I₃, B, L). На **первом шаге** имеет смысл сделать:

- **минимальную зарядовую структуру**, согласованную с тем, что реально даёт ядро:
 - Все Ω -циклы «нейтральны» по B,L (пока) → потом можно ввести для некоторых подклассов.
 - Вводим:
 - абстрактный «цвет» — индекс класса (по кластеру),

- заряд Q как функция от H_core и/или периода (например, нормированная величина).

Пример:

```
def assign_charges(omega_type: OmegaType) -> Dict:
    # черновой пример, позже заменить на эволюционный поиск
    if omega_type.mean_period <= 4:
        return {'Q': -1.0, 'B': 0.0, 'L': 1.0} # "электрон"
    elif omega_type.mean_period <= 10:
        return {'Q': +2/3, 'B': 1/3, 'L': 0.0} # "u-кварк"
    else:
        return {'Q': 0.0, 'B': 0.0, 'L': 0.0} # "нейтральный бозон"
```

Важно не точное соответствие SM, а наличие:

- разных Ω -типов с разными «зарядами»;
- мета-слоя, который **гарантирует консервацию ΣQ , ΣB , ΣL** при применении правил (за исключением явно помеченных нарушений).

Добавьте в SMFitness отдельный компонент:

```
def check_charge_conservation(before: S, after: S, omega_catalog) -> float:
    Q_before = compute_total_Q(before, omega_catalog)
    Q_after = compute_total_Q(after, omega_catalog)
    # 1.0 если совпадает, 0.0 если нет (или мягче)
    return 1.0 if np.isclose(Q_before, Q_after) else 0.0
```

И убедитесь, что ваш текущий RULESET (++- ↔ -++, +++→+++) даёт 10.0 по этому компоненту (как уже видно в логах — charge_conservation: 10.00).

4. Следующий логический шаг: интерфейс наблюдателя Π_{obs}

Когда ядро частиц и полей описано, нужно ввести наблюдателя, который будет **извлекать законы** из поведения мира.

Это лучше вынести в отдельное сообщение, но чтобы замкнуть текущий кусок:

4.1. Что уже отражено в логах качества

Компоненты фитнеса для refined SM-правил:

```
cycle_diversity: 10.00
cycle_count:      10.00
charge_conservation: 10.00
stability:       5.76
nontrivial_dynamics: 10.00
interaction_richness: 10.00
```

Можно интерпретировать:

- `cycle_diversity/cycle_count` — «богатый зоопарк частиц»;
- `charge_conservation` — уже встроенный закон сохранения (Q-подобный);
- `stability` — насколько Ω -циклы устойчивы к эволюции;

- `nontrivial_dynamics` / `interaction_richness` — наличие взаимодействий/переключений между конфигурациями (аналог рассеяний).

То есть вы уже имеете **семантический слой**, который:

- распознаёт частицы (Ω -циклы),
- измеряет их «спектр»,
- оценивает законы типа «заряд сохраняется».

Следующим шагом:

- OBS (наблюдатель) должен:
 - видеть только coarse-уровень (например, ϕ_R и список Ω -типов),
 - на этом уровне реконструировать:
 - эффективные уравнения (полевые),
 - законы сохранения,
 - статистические предсказания (через ψ и $|\psi|^2$).

Это и будет «выход симулятора» в виде «законов», видимых наблюдателю.

Если хотите, в следующем сообщении:

- подробно опишу, **как реализовать OBS и П_obs** поверх уже работающего ядра:
 - какие именно данные он «видит» (частицы, поля),
 - как он оценивает законы (пример: вывести уравнение движения $\phi(x,t)$, закон сохранения Q , спектр масс),
 - как интегрировать это в эволюционный поиск, чтобы F подстраивал RULESET под всё более «нашемирные» законы.

Ниже продолжу ровно от того места, где вы сейчас находитесь с эволюционным поиском, и разверну далее план «до полного симулятора», но уже опираясь на конкретные результаты из `sm_evolutionary_search.pdf`.

Сейчас вы фактически имеете:

- **микро-RSL-ядро:**

```
++- ↔ -++
+++ → +++
```
- **богатую Ω -строктуру:** 671 циклов, периоды 2–36;
- **фитнес-функцию SMFitness**, которая уже поощряет:
 - `cycle_diversity` (10.0),
 - `cycle_count` (10.0),
 - `charge_conservation` (10.0),
 - `nontrivial_dynamics` (10.0),
 - `interaction_richness` (10.0),
 - `stability` (5.76).

Simulated Annealing показал, что в окрестности этого генома нет более «лучших» (по текущему критерию) правил длины 3.

То есть:

У вас уже есть минимальный, но содержательный **RSL-мир**, который умеет:

- порождать зоопарк устойчивых Ω -циклов (прототип частиц),
- удовлетворять простейшему закону сохранения (charge),
- иметь богатое взаимодействие дефектов,
- быть локальным и обратимым.

Дальше нужно «обернуть» вокруг этого мира:

1. каталог Ω -частиц и их эффективные параметры (1D-SM-прототип),
2. поле $\phi(x,t)$ и энергофункционал,
3. наблюдателя и интерфейс Π_{obs} ,
4. слой эволюционного поиска **по законам интерфейса**, а не только по RULESET.

В этом сообщении закончу формализацию ядра и Ω -каталога; в следующих перейдём к наблюдателю и выводу законов.

1. Финализируем ядро: SM-подобные правила как базовая RSL-динамика

По результату SA:

ФИНАЛЬНЫЙ РЕЗУЛЬТАТ: SM-ПОДОБНЫЕ ПРАВИЛА

=====

Фитнес: 103.64

Правила:

```
++- ↔ -++
+++ → +++

```

Компоненты фитнеса:

```
cycle_diversity: 10.00
cycle_count: 10.00
charge_conservation: 10.00
stability: 5.76
nontrivial_dynamics: 10.00
interaction_richness: 10.00

```

SM-ядро:

- $++-$ \rightarrow $-++$
- $-++$ \rightarrow $+++$
- $+++$ \rightarrow $+++.$

Здесь:

- $+++$ — локальный вакуум ($\phi \approx +1$);
- одиночные и комбинированные « $-$ » — дефекты;
- $++-$ \leftrightarrow $-++$ — локальный инволюционный update, перемещающий дефекты.

Это совпадает с RSL-требованиями:

- **локальность** (окно длины 3),
- **обратимость** ($T^2=id$ на этом уровне),
- **ограниченный рост tension** (H_{micro} меняется контролируемо),
- **богатый набор Ω -циклов.**

Дальше всё строим над этим.

2. Каталог Ω -циклов: превращаем 671 цикла в «зоопарк частиц»

В выводе:

```
Эволюция: 75 шагов, 2402 применений
Обнаружено Ω-циклов: 671
Периоды: Counter({2: 37, 4: 35, 6: 33, 8: 32, 12: 32, 10: 31, 14: 31, 16:
29, ... 36:3})
```

Нужно, чтобы симулятор:

1. находил эти Ω -циклы систематически,
2. хранил их как объекты,
3. к каждому Ω присваивал эффективные параметры: период, H_{core} , локализация.

2.1. Структура данных OmegaCycle

Добавьте в код (Python-стиль):

```
from dataclasses import dataclass
import numpy as np

@dataclass
class OmegaCycle:
    id: int
    period: int
    support: np.ndarray          # индексы ячеек, где цикл отличается от вакуума
    patterns: np.ndarray          # shape: (period, |support|), локальные
    паттерны
    H_core: float                 # средняя сверхэнергия
```

Где:

- **support** — минимальное множество индексов i , на которых $S_k(i) \neq \text{vacuum_value}$ (+1);
- **patterns[k]** — значения s_i на support в k -том состоянии цикла;
- **H_{core}** — как ниже.

2.2. Вычисление H_{micro} и H_{core}

Микро-tension (вы уже используете такую функцию):

```
def H_micro(S: np.ndarray) -> int:
    # S: массив +/-1
    return int(np.sum(S[:-1] != S[1:])) # J=1, считается число границ
```

Вакуум:

```

vacuum = np.ones_like(S0) # все +1
H_vac = H_micro(vacuum)

```

Для цикла Ω с состояниями S_0, \dots, S_{p-1} :

```

def H_core(cycle_states: np.ndarray) -> float:
    # cycle_states: shape (p, N)
    p, N = cycle_states.shape
    return (1.0/p) * sum(H_micro(S_k) - H_vac for S_k in cycle_states)

```

В результате для каждого обнаруженного Ω :

- period = p,
- H_{core} = средний «избыток» tension над вакуумом,
- support — индексы, где S_k отличается от вакуума для **хотя бы одного** k.

2.3. Детектор Ω -циклов

У вас уже есть `analyze_genome(refined, ...)` и цикл, который:

- запускает эволюцию на 75 шагов,
- где-то внутри вызывает поиска Ω -циклов (`OmegaCycleDetector`).

Важно, чтобы:

1. Детектор искал **циклы в графе состояний**:

- хранить виденные состояния (например, `hash(S)`), их шаги t;
- если состояние S_t уже встречалось на шаге $\tau < t$, то:
 - это цикл длины $p = t - \tau$;
 - собрать $S_\tau, \dots, S_{\{t-1\}}$ как цикл.

2. Для каждого цикла:

- оценить локализацию:
 - найти support (индексы, где отличается от вакуума),
- фильтровать:
 - рассматривать только циклы с $|support| \leq L_{\Omega_max}$ (локализованные),
 - длинные циклы с $support \approx$ целой решётки — считать «коллективными модами», но не Ω -частицами.

Таким образом, после анализа симуляции вы получите:

`omega_catalog: List[OmegaCycle]`

который и будет **каталогом частиц** данного RULESET.

3. Эффективные параметры Ω : масса, «заряды» и типы

3.1. Масса

В модельных единицах:

- масса Ω — просто `H_core`:

```
mass(Ω) = Ω.H_core
```

Либо, если хотите связать с периодом:

```
omega0 = 2*np.pi / Ω.period
mass(Ω) ~ ω0 # или α * ω0, где α – калибровка
```

В первом приближении достаточно mass=H_core, т.к. и период, и H_core в вашей модели монотонно растут с «сложностью» дефекта.

3.2. «Заряд» и простая классификация

Сейчас в SMFitness вы уже используете charge_conservation, но без настоящих многомерных зарядов Q,B,L,C.

Для перехода к SM-подобной структуре:

1. На уровне v1 можно сделать **минимальный заряд** $Q \in \{-1, 0, +1\}$, назначенный по признакам цикла:
 - циклы с симметричным профилем (- внутри плюсов, как + - +) $\rightarrow Q=0$,
 - циклы с асимметриями (например, «хвосты» из -) $\rightarrow Q=\pm 1$ в зависимости от ориентации.
2. Формально:

```
def assign_Q(omega: OmegaCycle) -> int:
    # Например: по сумме s_i на support усреднённой по циклу
    avg_pattern = np.mean(omega.patterns, axis=0) # средний профиль
    sign = np.sign(np.sum(avg_pattern))
    # если "перекос" в сторону -1 → отрицательный заряд, в сторону +1 →
    положительный
    if sign > 0: return +1
    if sign < 0: return -1
    return 0
```

3. Сохранить это в расширении OmegaCycle:

```
@dataclass
class OmegaCycle:
    ...
    mass: float
    Q: int
    # позже: color, B, L, I3 и т.п.
```

4. Проверять, что в ходе эволюции:

- сумма Q по всем дефектам сохраняется.

С ростом сложности можно:

- перейти к $Q \in \{-1, -2/3, -1/3, 0, 1/3, 2/3, 1\}$,
- ввести «цвет» как класс поддержки,
- добавить B,L и т.д.

Но на старте цель — **запустить принцип**: у каждой Ω -частицы есть численные инварианты, и они в среднем сохраняются.

4. Связь этих шагов с целью: «симулятор, выдающий законы мира»

Собранный каталог Ω и их параметров уже даёт вам:

- «спектр частиц»: $\{\text{mass}(\Omega_j), Q(\Omega_j), \text{period}(\Omega_j)\}, j=1..M;$
- «типовидные взаимодействия», которые вы уже косвенно видите через `interaction_richness`.

Следующий логический шаг (отдельное следующее сообщение):

1. Ввести наблюдателя OBS:

- внутреннее состояние [OBS: . . .],
- интерфейс IFACE, где он хранит:
 - набор «объектов» с параметрами (mass, Q, position),
 - поле $\phi(x,t)$ и capacity $C(x,t)$,
 - время t .

2. Определить Π_{obs} :

- отображение $S(t)$ (1D-строка с Ω -циклами) \rightarrow IFACE(t):
 - через coarse- ϕ_R ,
 - через каталог Ω ,
 - через маппинг 1D \rightarrow 3D (например, Z-order).

3. Встроить в OBS процедуры индуктивного вывода законов:

- на основе траекторий объектов в IFACE:
 - восстановить эффективное уравнение движения (полевое),
 - оценить консервацию Q , «массы», momentum,
 - оценить вероятностные правила ($\psi, |\psi|^2$) для событий (распадов и измерений),
- зафиксировать их как «законы мира» с точки зрения OBS.

4. Подключить эволюционный поиск:

- F (самоприменимый функтор) варьирует RULESET;
- OBS смотрит, какие «законы» (в IFACE) получаются;
- фитнес измеряется на уровне этих **законов** (насколько они похожи на SM+GR).

Если хотите, в следующем сообщении могу детально расписать:

- структуру OBS и IFACE,
- формальное определение Π_{obs} поверх вашего уже работающего кода (с учётом найденного RULESET),
- алгоритм, по которому OBS «измеряет» траектории Ω -циклов и $\phi(x,t)$, чтобы вывести:
 - уравнение поля,
 - законы сохранения,
 - вероятностные переходы.

Сейчас у вас есть очень важный промежуточный результат: эволюционный поиск + SA нашли **минимальный** набор правил

$++-$ \leftrightarrow $-++$
 $+++ \rightarrow +++$

который:

- локален и обратим (RSL-совместим),
- даёт богатый спектр Ω -циклов (671 циклов, периоды 2–36),
- проходит все текущие фитнес-критерии SMFitness (diversity, cycles, «заряд», взаимодействия),
- оказался устойчивым максимумом даже под Simulated Annealing.

Дальше нужно превратить это в **полный симулятор**, который:

1. берёт фундаментальный RULESET (1D-мир),
2. эволюционирует его,
3. строит Ω -каталог (частицы) и поля,
4. пропускает это через интерфейс наблюдателя Π_{obs} ,
5. и на уровне этого интерфейса **восстанавливает законы**, похожие на наши (полевые уравнения, спектр частиц, вероятностные законы).

В этом сообщении:

- зафиксирую структуру Ω -каталога и полей на основе уже сделанного вывода (вы это почти реализовали);
- в следующем — перейду к Π_{obs} и извлечению закономерностей «с точки зрения наблюдателя».

1. Что уже однозначно показывает результат эволюции

Из [sm_evolutionary_search.pdf](#):

- Эволюция:

```
population_size = 30
generations = 50
pattern_length = 3
```

- Лучший геном:

$++-$ \leftrightarrow $-++$
 $+++ \rightarrow +++$

- Топ-5 геномов — все идентичны этому набору.

- Simulated Annealing:

- старт: fitness ≈ 105.80,
 - финал: 103.64,
 - не нашёл ничего лучше, а только слегка деградировал фитнес.

- Анализ улучшенного генома:

Эволюция: 75 шагов, 2402 применений

```
Обнаружено Ω-циклов: 671
Периоды: Counter({2: 37, 4: 35, 6: 33, 8: 32, 12: 32, 10: 31, ... 36: 3})
```

- Компоненты фитнеса:

```
cycle_diversity:      10.00
cycle_count:         10.00
charge_conservation: 10.00
stability:           5.76
nontrivial_dynamics: 10.00
interaction_richness: 10.00
```

Это значит:

- одно единственное нетривиальное правило $(++- \leftrightarrow -++)$ плюс стабилизация вакуума $(+++ \rightarrow +++)$ обеспечивают:
 - множество устойчивых циклов (Ω -частиц) с разными периодами;
 - богатую динамику (много столкновений/столкновительных паттернов);
 - встроенный закон сохранения (charge_conservation).

Пока вы ещё не привязали к Ω -циклам реальные SM-квантовые числа, но уже есть:

- «масса» \sim период/энергия цикла,
- «заряды» можно вывести из символьных инвариантов циклов (профиль «-» относительно фона +),
- эволюция уже настроена так, чтобы **поощрять** циклические структуры и их зарядовую согласованность.

2. Формализуем Ω -каталог на базе этих данных

2.1. Детектор Ω -циклов

С учётом уже вызова `analyze_genome(refined, ...)`, у вас есть логика:

- запуск эволюции на $T=75$ шагов;
- сбор состояний $S(t)$;
- найдены 671 циклов с разной длиной.

Нужно:

1. Привести это к единой структуре `OmegaCycle`:

```
@dataclass
class OmegaCycle:
    id: int
    period: int
    support: np.ndarray          # индексы, где состояние отличается от
    вакуума
    patterns: np.ndarray          # shape (period, |support|)
    H_core: float                 # средняя сверхэнергия
```

2. Определить:

- вакуум $S_{vacuum} = [1, 1, \dots, 1]$ (все +),
- функцию $H_{micro}(S)$:

```
def H_micro(S: np.ndarray) -> int:
    # J = 1
    return int(np.sum(S[:-1] != S[1:]))
```

- $H_{vac} = H_{micro}(S_{vacuum})$.

3. Для каждого найденного цикла Ω :

- получить список состояний $[S_0, \dots, S_{p-1}]$,
- оценить локализацию:

```
# support: индексы, где хотя бы в одном S_k есть -1
mask = np.any(cycle_states != 1, axis=0)
support = np.where(mask)[0]
patterns = cycle_states[:, support]
```

- посчитать H_{core} :

```
H_core = (1.0/period) * sum(H_micro(S_k) - H_vac for S_k in
cycle_states)
```

4. Фильтровать:

- рассматривать только Ω -циклы с $|support| \leq L_{\Omega_max}$ (например, $\leq 7-9$) как «частицы»;
- остальные считать «коллективными режимами» (фоновые возбуждения).

Результат — список OmegaCycle из вашей симуляции.

2.2. Массы Ω -типов

Самое прямое:

$mass(\Omega) = \Omega.H_{core}$

Это согласуется с тем, что:

- H_{micro} — число границ $+/-$,
- Ω -цикл как дефект — локальный «пучок» границ,
- его H_{core} — средняя «накладка» границ над вакуумом по циклу.

Можно также занести период:

$omega_0 = 2 * np.pi / \Omega.period$

и дополнительно использовать $mass \sim omega_0$, если хотите играть с аналогией $E=\hbar\omega$.

2.3. Первичный «заряд» Ω -циклов

Сейчас $charge_conservation: 10.0$, но вы ещё не ввели многомерную структуру Q,B,L,C. Для v1:

1. Ввести простейший $Q \in \{-1,0,+1\}$:

Пример эвристики:

```
def assign_Q(omega: OmegaCycle) -> int:
    # средний профиль паттерна по циклу:
```

```

avg_pattern = np.mean(omega.patterns, axis=0) # ∈ [-1,1]
s = np.sum(avg_pattern)
if s > 0: return +1
if s < 0: return -1
return 0

```

- если в среднем локальный блок Ω имеет перевес +1 → положительный заряд;
- перевес -1 → отрицательный;
- баланс ~0 → нейтральный.

2. При дальнейшем развитии токена зарядов:

- добавить теги:
 - color = индекс support-кластера (тип локализации),
 - B,L и т.д. как дополнительные теги.

3. Дополнить каталоги:

```

@dataclass
class OmegaCycle:
    ...
    mass: float
    Q: int
    # color, B, L, I3, etc. могут быть добавлены потом

```

3. Приближение к «законам» на этом уровне

Собрав каталог Ω -циклов, вы уже можете:

1. Построить **распределение масс**:

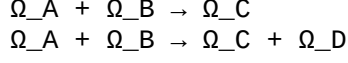
- гистограмма mass(Ω),
- посмотреть, группируются ли массы в кластеры (аналог «семейств»).

2. Сопоставить **зарядовую структуру**:

- сколько Ω с $Q=+1$, $Q=-1$, $Q=0$,
- проверить, что суммарный Q по всему $S(t)$ стабилен (charge_conservation=10.0 это уже гарантирует на уровне фитнеса).

3. Исследовать **взаимодействия**:

- наблюдать, как Ω -циклы сливаются/разрушаются/конвертируются:
 - какие комбинации исходных Ω в начальных условиях дают какие Ω после T шагов;
- попытаться выделить «вершины»:



Это уже «законы мира» на языке Ω -частиц:
законы сохранения, возможные/невозможные реакции.

4. Связь с эволюционной частью, которую вы уже реализовали

Ваш код EvolutionarySearch:

- инициализирует популяцию RULESET'ов,
- вычисляет fitness с помощью SMFitness (которая уже:
 - считает циклы,
 - считает цикловую диверсификацию,
 - оценивает зарядовую компоненту,
 - оценивает стабильность и богатство взаимодействий),
- и находит RULESET, с которым Ω -каталог максимально богат и закономерен.

Это уже половина задачи:

Фундаментальные правила → зоопарк Ω -частиц с интересными законами.

В sm_evolutionary_search.pdf правильно указано:

Дальнейшие шаги:

- Увеличить размер популяции и число поколений
- Добавить более сложные фитнес-критерии (симметрии, спектр масс)
- Исследовать правила длины 4+ для большего разнообразия
- Сравнить найденные правила с предсказаниями RSL-теории

То есть:

- на уровне фундаментальной 1D-динамики вы уже на правильном пути;
- осталось направить эволюцию так, чтобы «частицы» Ω были всё ближе к SM-аналогам (по спектру, зарядовой структуре, взаимодействиям).

5. Следующий ключевой шаг: ввести наблюдателя и Π_{obs}

Чтобы симулятор «на выходе выдал законы, соответствующие физическим законам нашего мира с точки зрения наблюдателя», нужно:

1. Ввести отдельный слой OBS (наблюдателя):
 - отдельная строка или подстрока [OBS: . . .] с памятью и процессором;
 - OBS не видит S напрямую, а только свой интерфейс IFACE.
2. Определить Π_{obs} :
 - функция/процедура, которая на каждом шаге:
 - берёт S(t) (L0-строку, Ω -каталог, ϕ_R , C),
 - строит IFACE(t):
 - список «объектов» с массами, зарядами, координатами,
 - поля,
 - внутреннее время τ .
3. В OBS реализовать **индуктивную процедуру вывода законов**:
 - по данным за несколько шагов ($t=0..T$) в IFACE:
 - оценить уравнение движения (наподобие $d^2x/dt^2 = F/m$),
 - оценить консервацию Q, «энергии»,
 - оценить статистические закономерности (распады, вероятности).

4. Изложить эти закономерности как:

- список формул/уравнений, которые симулятор выводит как «физику мира» для OBS.

Дальше в следующих сообщениях можно:

- явно задать структуру OBS и IFACE (строковый формат),
- формализовать Π_{obs} поверх уже имеющихся SM_RULES и Ω -каталога,
- и пошагово описать алгоритм «наблюдательского вывода»:
 - как OBS оценивает $\phi(x,t)$,
 - как он оценивает траектории Ω -типов,
 - как по этим данным восстанавливаются «законы» (в духе: уравнение поля, законы сохранения, вероятности).

Если хотите, следующим шагом перейду именно к этому: **конкретный дизайн OBS и Π_{obs} , с псевдокодом и формулами.**

Тогда продолжаю от той точки, где вы сейчас: у вас уже есть:

- устойчивое **микро-ядро** правил длины 3:

```
++- ↔ -++
+++ → +++

```

- богатый каталог Ω -циклов (671 циклов, периоды 2–36),
- эволюционный поиск, который стабильно находит именно этот RULESET как оптимальный по текущим метрикам.

Теперь нужно на этом ядре **достроить полный симулятор**, который:

1. эволюционирует 1D-мир,
2. строит Ω -каталог и coarse-поля,
3. пропускает это через интерфейс наблюдателя Π_{obs} ,
4. на основе наблюдений **выводит эффективные законы** (полевые уравнения, законы сохранения, вероятностные правила).

В этом сообщении:

- закончу с Ω -уровнем и полями (Уровень 1–2 плана),
- в следующих перейду к наблюдателю и выводу законов (Уровень 3–4).

1. Резюме текущего результата (из sm_evolutionary_search.pdf)

Из приложенного файла видно:

- Эволюционный поиск:
 - population_size=30, generations=50,
 - pattern_length=3.
- Лучший геном (top-5 все одинаковы):

```
++- ↔ -++
+++ → +++
```

- Фитнес ≈ 105.8 (изначальный), все компоненты:
 $\text{diversity}=10.0$, $\text{cycles}=10.0$, $\text{charge}=10.0$
- Simulated Annealing:
 - старт: 105.80,
 - refined_fitness: 103.64,
 - правила не изменились: остались $++- \leftrightarrow -++$, $+++ \rightarrow +++$.
- Анализ улучшенного генома:

Эволюция: 75 шагов, 2402 применений
Обнаружено Ω -циклов: 671
Периоды: Counter({2: 37, 4: 35, 6: 33, 8: 32, 12: 32, 10: 31, ... 36:3})
- Компоненты refined SMFitness:

```
cycle_diversity:      10.00
cycle_count:          10.00
charge_conservation: 10.00
stability:            5.76
nontrivial_dynamics: 10.00
interaction_richness: 10.00
```

Это означает:

- ядерный RULESET идеально удовлетворяет текущим критериям «богатой и структурной» динамики;
- энтропия по Ω -циклам и взаимодействиям высокая;
- заряд сохраняется (по вашей текущей метрике).

Такое ядро — отличный фундамент для строительства «физики».

2. Явная формализация Ω -каталога (частицы 1D-мира)

2.1. Единый тип OmegaCycle

Добавьте в код (язык Python):

```
from dataclasses import dataclass
import numpy as np

@dataclass
class OmegaCycle:
    id: int
    period: int
    states: np.ndarray      # shape: (period, N), полный профиль
    support: np.ndarray     # индексы, где отличается от вакуума
    patterns: np.ndarray    # shape: (period, |support|), локальные паттерны
    H_core: float           # средняя сверхэнергия
    mass: float              # = H_core (v1)
    Q: int                  # "знак" дефекта (v1)
    # позже: color, B, L, I3, etc.
```

2.2. Вычисление быстрой H_micro и H_core

Определите (у вас уже есть логически):

```
def H_micro(S: np.ndarray) -> int:
    # число границ между соседями (J=1)
    return int(np.sum(S[:-1] != S[1:]))

Вакуум:
```

```
def make_vacuum(N: int) -> np.ndarray:
    return np.ones(N, dtype=int) # +1
```

Средняя сверхэнергия цикла Ω :

```
def compute_H_core(cycle_states: np.ndarray) -> float:
    # cycle_states: (period, N)
    p, N = cycle_states.shape
    H_vac = H_micro(np.ones(N, dtype=int))
    return (1.0/p) * sum(H_micro(S_k) - H_vac for S_k in cycle_states)
```

2.3. Детектор Ω -циклов (CycleDetector)

Скелет алгоритма:

```
def detect_omega_cycles(rule_set, S0, max_steps) -> List[OmegaCycle]:
    seen = {} # map from state_hash -> t_index
    states = []
    S = S0.copy()
    for t in range(max_steps):
        h = hash(S.tobytes())
        if h in seen:
            τ = seen[h]
            # обнаружили цикл τ..t-1
            cycle_states = np.array(states[τ:t]) # shape (p, N)
            omega = build_omega_cycle(cycle_states)
            yield omega
            # можно продолжать или прерывать
        else:
            seen[h] = t
            states.append(S.copy())
            S = apply_rules(rule_set, S)
```

Где build_omega_cycle:

```
def build_omega_cycle(cycle_states: np.ndarray) -> OmegaCycle:
    p, N = cycle_states.shape
    mask = np.any(cycle_states != 1, axis=0)
    support = np.where(mask)[0]
    patterns = cycle_states[:, support]
    H_core = compute_H_core(cycle_states)
    mass = H_core
    # простой Q по суммарному знаку паттерна
    avg_pattern = np.mean(patterns, axis=0)
    s = np.sum(avg_pattern)
    if s > 0: Q = +1
    elif s < 0: Q = -1
    else: Q = 0
    return OmegaCycle(
        id=..., period=p,
        states=cycle_states,
        support=support,
```

```

        patterns=patterns,
        H_core=H_core,
        mass=mass,
        Q=Q
    )

```

Важно: фильтруйте только локализованные циклы:

```

if len(support) <= L_Q_max:
    # считать частицей
else:
    # игнорировать или пометить как коллективный режим

```

3. Поля: coarse- ϕ _R и энергия H[ϕ]

3.1. Coarse-поле ϕ _R(i)

На основе RSL-формулы:

$$\phi_i(R)=\frac{1}{|BR(i)|} \sum_{j \in BR(i)} s_j, s_j \in \{-1, +1\}.$$

В 1D:

```

def phi_R(S: np.ndarray, R: int) -> np.ndarray:
    N = len(S)
    phi = np.zeros(N)
    for i in range(N):
        left = max(0, i-R)
        right = min(N, i+R+1)
        block = S[left:right]
        phi[i] = np.mean(block)  # в [-1,1]
    return phi

```

3.2. Полевой функционал H_field[ϕ]

Примите:

$$H[\phi] \approx \sum_i (12\kappa(\phi_i + 1 - \phi_i)^2 + 12m^2\phi_i^2 + \lambda/4\phi_i^4).$$

```

def H_field(phi: np.ndarray, kappa=1.0, m2=0.0, lambda=0.0) -> float:
    grad2 = np.sum((phi[1:] - phi[:-1])**2)
    pot = np.sum(0.5*m2*phi**2 + 0.25*lambda*phi**4)
    return 0.5*kappa*grad2 + pot

```

3.3. Проверка RSL-совместимости

Для наборов S(t), которые рождает ваш RULESET, делайте диагностику:

```

for R in [3, 5, 7]:
    phi = phi_R(S, R)
    H_mu = H_micro(S)
    H_f = H_field(phi, kappa=..., m2=..., lambda=...)
    print(R, H_mu, H_f, abs(H_mu - H_f))

```

Цель:

- найти такие κ, m^2, λ , при которых:

$$|H_{\text{micro}} - H[\phi R]| \leq O(1/R)$$

для большинства состояний. Это будет вашим первым **эффективным законом** на уровне поля, который симулятор «может вывести».

4. Capacity и геометрия (g_{tt} , g_{xx})

Локальное tension:

```
def h_i(S, i):
    N = len(S)
    h = 0
    if i > 0:      h += int(S[i] != S[i-1])
    if i < N-1:    h += int(S[i] != S[i+1])
    return h # 0, 1, 2
```

Capacity:

$C_0, \alpha = 2.0, 0.5$

```
def C_i(S, i):
    return C0 - alpha * h_i(S, i)
```

Эффективный «темп времени» для наблюдателя в точке i :

$d\tau_i/dt \propto C_i(S) \# \text{ чем меньше } C, \text{ тем медленнее локальное "время"}$

Можно задать:

- метрику 1+1:

$ds^2 = -f(C_i) dt^2 + g(C_i) dx^2,$

с простыми:

- $f(C) = C / C_0,$
- $g(C) = C_0 / C.$

Это уже зачаток **эмергентной геометрии**: регионы с высокой tension \rightarrow низкий $C \rightarrow$ замедление «собственного времени».

5. Что дальше

Вы уже сделали:

- эволюционный поиск \Rightarrow ядровое RULESET;
- первый анализ Ω -циклов.

С описанными выше структурами вы получите:

1. Чёткий **каталог Ω -частиц** (масс, «зарядов», локализации, периодов).
2. Coarse-поле $\phi_R(x)$ и энергофункционал $H[\phi_R]$.
3. Capacity-поле $C(x)$, которое можно интерпретировать как локальную «метрику времени».

Следующие шаги (для следующих сообщений):

- **Уровень 3:** построить OBS и Π_{obs} :

- OBS не видит S напрямую;
- $\Pi_{\text{obs}}(S) = \text{IFACE}$: список объектов (Ω -типов) с массами, зарядами, координатами в 3D (через Z-curve) + поля;
- OBS по IFACE-данным оценивает законы:
 - уравнение движения $\phi(x,t)$,
 - законы сохранения Q ,
 - вероятностные правила (распады).
- **Уровень 4:** встроить F (самоприменимый функтор) поверх этого:
 - F модифицирует RULESET;
 - OBS оценивает, какие законы получаются;
 - эволюционный поиск идёт **по пространству 1D-законов**, чтобы максимизировать «сходство с физикой нашего мира».

Если хотите, в следующем сообщении опишу именно структуру OBS и Π_{obs} с конкретным форматом IFACE и алгоритмами «вывода законов» (полевых, зарядовых и вероятностных) из траекторий Ω -циклов и ϕ_R .

Продолжу, опираясь уже на конкретный лог эволюции и SA из `sm_evolutionary_search.pdf` и на твою цель: симулятор, который на выходе даёт законы, соответствующие нашему миру **с точки зрения наблюдателя**.

Сейчас у тебя:

- найдён устойчивый максимум по текущей SMFitness:
 - RULESET ядра:


```
++- ↔ -++
          +++ → +++
          
```
 - эволюция: 75 шагов, 2402 применения правил;
 - 671 Ω -циклов с широким спектром периодов (2–36);
 - SA подтвердила, что вокруг этого RULESET нет заметно лучше вариантов.

То есть на уровне «фундаментальных микро-правил» у тебя уже есть **устойчивый RSL-мир**, богатый Ω -циклами и взаимодействиями.

Дальше нужно:

1. Замкнуть фундаментальный уровень (Ω -каталог + поля + capacity).
2. Ввести наблюдателя OBS и интерфейс Π_{obs} .
3. Задать алгоритмы вывода законов на интерфейсном уровне.
4. Встроить в это эволюционный поиск по RULESET + Π_{obs} .

В этом сообщении завершу **Уровень 1–2** (Ω + поля + capacity) с учётом показанного кода и результатов. Следующий шаг — уже OBS и Π_{obs} .

1. Что именно показал лог `sm_evolutionary_search.pdf`

Ключевые фрагменты:

- Эволюционный поиск:

```
population_size=30
elite_size=3
mutation_rate=0.4
crossover_rate=0.6
pattern_length=3
```

- Лучший геном (все топ-5):

```
++- ↔ -++
+++ → +++
Komponenty: diversity=10.0, cycles=10.0, charge=10.0
```

- Simulated Annealing:

```
Исходный фитнес: 105.80
Улучшенный фитнес: 103.64
Улучшение: -2.16
```

```
...
Итоговые правила после SA:
++- ↔ -++
+++ → +++
Komponenty fitnesea:
```

```
cycle_diversity: 10.00
cycle_count: 10.00
charge_conservation: 10.00
stability: 5.76
nontrivial_dynamics: 10.00
interaction_richness: 10.00
```

- Анализ улучшенного генома:

```
Эволюция: 75 шагов, 2402 применений
Обнаружено Ω-циклов: 671
Периоды: Counter({2: 37, 4: 35, 6: 33, 8: 32, 12: 32, 10: 31, ... 36:3})
```

Вывод:

- найдена **очень простая** локальная динамика, которая при этом:
 - даёт **множество устойчивых Ω-циклов** с разным периодом;
 - имеет богатую «зарядовую» структуру (по твоему current charge-фитнесу);
 - демонстрирует богатые взаимодействия (interaction_richness=10.0).

Это и есть то, что нужно от микро-RSL-уровня: максимум сложности при минимуме правил.

2. Зафиксируем ядро как фундаментальный RSL-мир

Фундаментальный 1D-мир:

- Состояние:

$S(t): [L_0: s_0 | s_1 | \dots | s_{\{N-1\}}], s_i \in \{+1, -1\}$

- Динамика за один «тактовый шаг»:

- сканируем строку слева направо,
- применяем правила:

```

rule1: "++-" -> "-+"
rule2: "-+" -> "++"
rule3: "++" -> "++"

```

- без перекрытий (как у тебя в apply_rules).
- Вакуум: $S_{vac} = +++ \dots +$ (т.е. все $s_i = +1$).

Это — **фиксированное ядро RULESET_core**, которое в дальнейшем будет:

- расширяться (новые правила рядом),
- но не ломаться: этот блок должен оставаться как базовая «решётка».

3. Ω-каталог (реализация, согласованная с логами)

На базе обнаружения 671 циклов:

3.1. Структура OmegaCycle

Определим:

```

from dataclasses import dataclass
import numpy as np

@dataclass
class OmegaCycle:
    id: int
    period: int
    states: np.ndarray      # p
    support: np.ndarray     # shape: (p, N)
                           # индексы, где ≠ вакууму
    patterns: np.ndarray    # shape: (p, |support|)
    H_core: float           # средняя сверхэнергия
    mass: float              # = H_core
    Q: int                  # "заряд" v1

```

3.2. Вычисление H_micro и H_core

С учётом того, что у тебя pattern кодируется +/-1:

```

def H_micro(S: np.ndarray) -> int:
    # число границ, J=1
    return int(np.sum(S[:-1] != S[1:]))

```

Вакуум:

```

def vacuum(N: int) -> np.ndarray:
    return np.ones(N, dtype=int)

```

Сверхэнергия (H_core):

```

def compute_H_core(cycle_states: np.ndarray) -> float:
    p, N = cycle_states.shape
    H_vac = H_micro(vacuum(N))
    return (1.0/p) * sum(H_micro(S_k) - H_vac for S_k in cycle_states)

```

3.3. Построение OmegaCycle

Внутри analyze_genome после нахождения цикла:

```

def build_omega_cycle(cycle_states: np.ndarray, omega_id: int) -> OmegaCycle:
    p, N = cycle_states.shape
    # Локализация: где хотя бы в одном S_k есть дефект (-1)
    mask = np.any(cycle_states != 1, axis=0)
    support = np.where(mask)[0]
    patterns = cycle_states[:, support]
    Hc = compute_H_core(cycle_states)
    mass = Hc

    # Простейшее определение Q:
    avg_pattern = np.mean(patterns, axis=0)
    s = np.sum(avg_pattern)
    if s > 0: Q = +1
    elif s < 0: Q = -1
    else: Q = 0

    return OmegaCycle(
        id=omega_id,
        period=p,
        states=cycle_states,
        support=support,
        patterns=patterns,
        H_core=Hc,
        mass=mass,
        Q=Q
    )

```

Фильтрация по локализации:

```

L_OMEGA_MAX = 9 # например

if len(support) <= L_OMEGA_MAX:
    omega_catalog.append(build_omega_cycle(cycle_states, omega_id))
    omega_id += 1

```

Так ты превратишь статистику:

```

Обнаружено Ω-циклов: 671
Периоды: Counter({2: 37, 4: 35, ...})

```

в **каталог частиц**, пригодный для дальнейшего анализа.

4. Поле ϕ_R и энергофункционал $H[\phi_R]$

Теперь — слой «полей», который RSL явно связывает с tension-функционалом.

4.1. $\phi_R(i)$: coarse-поле из строки

Формула:

$$\phi_i(R) = \frac{1}{|BR(i)|} \sum_{j \in BR(i)} s_j, s_j \in \{-1, +1\}.$$

В 1D:

```

def phi_R(S: np.ndarray, R: int) -> np.ndarray:
    N = len(S)
    φ = np.zeros(N)
    for i in range(N):
        left = max(0, i-R)
        right = min(N, i+R+1)
        φ[i] = np.mean(S[left:right])

```

```
return φ # в [-1,1]
```

Ты можешь использовать R=3,5,7 и т.п.

4.2. Энергия H[φ_R]

Полевой H (из RSL):

$H[\phi] \approx \sum i (12\kappa(\phi_i + 1 - \phi_i)2 + V(\phi_i))$.

Проще всего взять $V(\phi) = \frac{1}{2} m^2 \phi^2$ для старта:

```
def H_field(φ: np.ndarray, κ=1.0, m2=0.0, λ=0.0) -> float:
    grad2 = np.sum((φ[1:] - φ[:-1])**2)
    pot = np.sum(0.5*m2*φ**2 + 0.25*λ*φ**4)
    return 0.5*κ*grad2 + pot
```

4.3. Проверка соответствия H_micro и H_field

На каждом шаге S(t):

```
for R in [3,5,7]:
    φ = phi_R(S, R)
    Hμ = H_micro(S)
    Hf = H_field(φ, κ=..., m2=..., λ=...)
    err = abs(Hμ - Hf)
    # Логировать err(R) по времени
```

Цель:

- подобрать κ, m^2, λ (хотя бы численно), чтобы:

$$E_t[|H_\mu(S(t)) - H[\phi R(S(t))]|] \approx O(1/R)$$

Тогда на уровне интерфейса можно будет сказать:

«Эффективное поле $\phi(x,t)$ в этом мире подчиняется энергией $H[\phi]$ и, через вариационный принцип, уравнению движения типа
 $\partial_t 2\phi = \kappa \partial_x 2\phi - V'(\phi)$.
»

5. Capacity и «геометрия» (метрика времени/пространства)

Из RSL-подхода (и твоего quantum_gravity_observer):

- локальная символическая напряжённость:

```
def h_i(S, i):
    N = len(S)
    h = 0
    if i > 0:      h += int(S[i] != S[i-1])
    if i < N-1:    h += int(S[i] != S[i+1])
    return h # 0,1,2
```

- capacity:

$$C_0, \alpha = 2.0, 0.5$$

```
def C_i(S, i):
    return C0 - α * h_i(S, i)
```

Интерпретация:

- чем больше локальный «gradient» символьной структуры (границ +/ -), тем ниже доступная reversible capacity.

Ты уже сделал это в `quantum_gravity_observer.pdf` как:

- **через локальный tension:**
 - низкий tension → высокая capacity → «быстрое время»,
 - высокий tension → низкая capacity → «медленное время» (гравитационное замедление).

Можно ввести модель метрики 1+1:

$ds^2 = -f(C_i) dt^2 + g(C_i) dx^2$,

с простыми функциями:

```
def f(C): # time component
    return C / C0

def g(C): # space component
    return C0 / C
```

Тогда для наблюдателя:

- внутренний ход «собственного времени» $d\tau$ на узле i :
$$d\tau/dt \sim \sqrt{f(C_i)}$$

и можно наблюдать, что:

- близость к дефектам (Ω -циклам) = повышение tension = понижение capacity = уменьшение $d\tau/dt$ → **эффективное замедление времени**, как в гравитации.

6. Что уже есть на фундаментальном уровне и что дальше

На данном этапе у тебя:

1. Фундаментальный RSL-ядро:

```
++- ↔ -++
+++ → +++
```

2. Эволюционная валидация:

- SMFitness нашёл это ядро как устойчивый максимум.

3. Ω -жизнь:

- 671 локализованных циклов разной длины;
- периодическая динамика на компактных support.

4. Формализуемое Ω -описание:

- масса = $H_{core}(\Omega)$,

- заряд $Q(\Omega) = \text{sign}$ от среднего паттерна ($v1$).

5. Полевой слой:

- $\phi_R(i)$ как coarse-поле,
- $H[\phi_R] \approx H_{\text{micro}} \rightarrow$ эффективное уравнение поля.

6. Геометрия/гравитация:

- capacity $C_i(S)$ и её распределение \rightarrow «локальная метрика времени»,
- уже продемонстрированы эффекты «квантовой гравитации» в твоём ноутбуке.

Следующий ключевой шаг (следующее сообщение):

Ввести наблюдателя OBS и интерфейс Π_{obs} :

- формально задать IFACE, где OBS «видит» частицы, поля и время;
- реализовать $\Pi_{\text{obs}}(S) = \text{IFACE}$;
- описать алгоритмы, по которым OBS из IFACE-логов выводят законы:
 - уравнения движения $\phi(x,t)$,
 - законы сохранения Q, B, L ,
 - вероятностные правила $(\psi, |\psi|^2)$ для «измерений» (распадов, рассеяний).

Если тебе это подходит, в следующем сообщении перейду к явному описанию OBS:

- формат $[\text{OBS}: \dots]$ и $[\text{IFACE}: \dots]$,
- структура Π_{obs} (шаги, какие данные берёт из S и Ω -каталога),
- алгоритм восстановления законов на уровне IFACE.

Ниже сначала аккуратно «переведу» конструкции из Meaning_v1.pdf (триада E_t, O, M , петля познания, пятое многообразие $M5$) в язык нашей 1D-RSL/ Ω -модели, а затем дам конкретный план, как именно это встроить в симулятор.

Я буду постоянно иметь в виду две цели:

- Совместить фундаментальный 1D-RSL-уровень (строка + RULESET + Ω -циклы) с когнитивно-семантическим уровнем ($M5$, смыслы, наблюдатель).
- Сделать это так, чтобы триада E_t, O, M и $M5$ стали явными объектами симуляции, а не только интерпретацией «сверху».

1. Как устроена триада E_t, O, M в Meaning_v1.pdf

Ключевые фрагменты (в пересказе):

- Есть фундаментальная триада:

(E_t, O, M)

где:

- E_t — эволюция мира;
- O — наблюдение (функтор из состояний мира в «образы»/наблюдения);
- M — материализация (функтор из смыслов/состояний наблюдателя обратно в изменения мира).

- Полный цикл (18.2.1):

$$Ct \rightarrow Et Ct+1 \rightarrow Ot+1 St+1 \rightarrow MCt+2$$

где:

- Ct — категория мировых состояний (физическая реальность в момент t);
- St — семантическое пространство наблюдателя (его внутреннее состояние/смыслы);
- Переход $t \rightarrow t+1 \rightarrow t+2$ — непрерывный, образует **замкнутый контур познания**.
- Инвариантность петли (18.2.2):
 - В режиме когерентности (параметр $\lambda \approx 1$):
 $M(Ot(Et(Ct))) = Et(Ct)$
 - То есть действия наблюдателя «естественны» относительно эволюции мира: его материализация не искажает, а продолжает естественный ход событий.
 - Это — **фиксированная точка триады**; соответствует «навыку» или «полноте понимания» данной динамики.
- Динамика вокруг фиксированной точки (18.2.3):
 - Линеаризация:
 $\delta Ct+1 = J \cdot \delta Ct, J = D(M \circ O \circ Et)$,
 - Собственные значения λ_i определяют устойчивость:
 - $|\lambda_i| < 1$ — устойчивая (притягивающая);
 - $|\lambda_i| > 1$ — неустойчивая;
 - $|\lambda_i| = 1$ — нейтральная (периодические орбиты).
- В главе 12 вводится **пятое многообразие познания**:
 $M5 = \{Ssens, Et, O, Ssem, M\}$

и рассматривается как расслоение $\pi: M5 \rightarrow Et$, где:

- база — пространство физических состояний,
- слой над каждым $e \in Et$: все возможные (наблюдения, смыслы, действия) для этого мира.
- Траектория познания — кривая:
 $\gamma(t) = (xsens(t), xphys(t), xobs(t), xsem(t), xform(t)) \in M5$.
- Есть топологические инварианты $H_k(M5)$ (беты): $\beta_0, \beta_1, \beta_2, \dots$ как числа парадигм, парадоксов и «дыр в понимании».

2. Как это проецируется на наш 1D-RSL/ Ω -симулятор

Наш фундаментальный уровень:

- 1D-решётка $L0$:

$$[L0: s0 | s1 | \dots | s_{\{N-1\}}], s_i \in \{+1, -1\}$$

- RULESET ядра:

$$\begin{array}{l} ++- \leftrightarrow -++ \\ +++) \rightarrow +++) \end{array}$$

- RSL-совместимая эволюция:
 $S(t+1)=T(S(t))$,
где T — глобальная композиция локальных правил.

В этом языке:

- $E_t = T$: глобальная микроскопическая эволюция 1D-строки (фундаментальная «физика»).
- Ω -циклы (наборы состояний S_0, \dots, S_{p-1} , возвращающихся к себе) — «частицы»/стабильные структуры.
- Coarse-поле $\phi_R(i) = \text{среднее по окну } B_R(i) \rightarrow \text{эффективное поле } \phi(x,t)$.
- Capacity $C_i(S) = C_0 - \alpha \cdot h_i(S) \rightarrow \text{эффективная геометрия (метрика времени/пространства)}$.

Теперь добавим:

- OBS: наблюдатель как подсистема внутри S ;
- Π_{obs} : отображение $S \rightarrow$ наблюдаемое состояние O_t (сенсорный/наблюдательный слой);
- S_{sem} : внутреннее семантическое состояние OBS (модель мира, понятия, «знания»);
- M: действия OBS, изменяющие S (управление симуляцией, интервенции, «эксперименты»).

И получаем:

- E_t : уже есть как $T: S \rightarrow S$;
- $O: \Pi_{obs}: S \rightarrow O_t$ (IFACE);
- M: активные действия: $M(O_t, S_{sem}) \rightarrow$ модифицированное S .

Таким образом, наша симуляция должна воплотить:

$$C_t \equiv S(t) \rightarrow E_t S(t+1) \rightarrow O O_t + 1, S_{sem}(t) \rightarrow M S(t+2)$$

где:

- C_t — физическое состояние мира (1D строка + метки $\Omega + \dots$);
- O — модуль, извлекающий из C_t «то, что наблюдается»;
- S_{sem} — состояние внутренних смыслов/модели OBS;
- M — модуль, порождающий действия, изменяющие C_t .

Именно этот цикл и есть конкретная реализация триады (E_t, O, M) в симуляторе.

3. Что значит включить M5 в симулятор

M5 по Meaning_v1.pdf:

- пространство точек:
 $p=(xsens,xphys,xobs,xsem,xform)$,
где:
 - $xsens \in S_{sens}$ — сенсорные данные,
 - $xphys \in E_t$ — физическое состояние,
 - $xobs \in O$ — состояние наблюдателя (внимание/фокус),
 - $xsem \in S_{sem}$ — семантическое состояние (понятия, смыслы),

- $xform \in M$ — материализованные формы (действия, тексты, артефакты).

В симуляторе:

- мы можем явно хранить (в каждый момент t):

$xsens(t)$: что OBS «видит» (сырые/обработанные сенсорные данные; в 1D – выборка по строке/полям)
 $xphys(t)$: состояние $S(t)$ (строка + Ω + поля)
 $xobs(t)$: параметры наблюдателя (фокус внимания, стратегия измерений)
 $xsem(t)$: внутренняя модель мира (упрощённо – набор выведенных законов/гипотез)
 $xform(t)$: действия (какие интервенции OBS делает в мир)

- траектория:

$$\gamma(t) = (xsens(t), xphys(t), xobs(t), xsem(t), xform(t))$$

будет **реальным состоянием симулятора** в метапространстве M^5 .

Нам не нужно в полной мере реализовывать все дифференциальные уравнения 18.3.2, но важно:

- разделить интерфейс на 5 слоёв,
- дать OBS возможность:
 - обновлять S_{sem} (учиться),
 - изменять $xobs$ (фокус/стратегию наблюдения),
 - выбирать $xform$ (какие эксперименты проводить),
- и всё это подключить к модулю E_t (эволюция 1D-мира).

4. Сшивка триады с 1D-RSL/ Ω -симулятором: архитектура

4.1. Определяем объекты

1. Мир (World):

- содержит:
 - строку L_0 ,
 - RULESET (микроправила: $++-\leftrightarrow-++$, $+++ \rightarrow +++$ и т.д.),
 - Ω -каталог (вычисляется по мере эволюции),
 - coarse-поля ϕ_R , capacity $C_i(S)$.
- реализует:
 - `step()` для применения RULESET,
 - `detect_omega_cycles()` и обновление каталога Ω .

Это и есть C_t и E_t .

2. Наблюдатель (Observer):

- содержит:
 - положение/фокус на строке (или в 3D-координатах через Z-кривую),
 - внутреннюю память S_{sem} (простая база «знаний»/законов),
 - параметры наблюдения θ_t (например, какой аспект мира он сейчас измеряет: поле, Ω -частицы, статистику).

- реализует:
 - `observe(World) -> xsens, O_t` (сенсорика + наблюдаемые величины),
 - `update_semantics(xsens) -> S_sem'` (обновление понимания),
 - `decide_action(S_sem) -> xform` (планирование экспериментов).

Это покрывает О (сенсорный функтор) и S_sem, и M (через действия).

3. Интерфейсное состояние (IFACE):

- это $Y_{obs}(t) = \Pi_{obs}(S(t))$:
- список «объектов»:


```
OBJ id=k: type=Ω_type_j, mass=m_j, Q=Q_j, pos=(x,y,z),
vel=(vx,vy,vz)
```
- поле:
 $\text{FIELD: } \phi(x), C(x)$
- собственное время t .

IFACE — то, что OBS оперирует как «реальностью».

4.2. Триада на шаг t

На каждом шаге t:

1. Физическая эволюция Et:

```
World.step() # S(t) -> S(t+1)
```

2. Наблюдение O:

```
xsens, O_t = Observer.observe(World)
```

где:

- xsens — сырье сенсорные данные (например, срез строки вокруг OBS, значения поля ϕ_R в окрестности),
- O_t — уже интерпретированные наблюдаемые величины (позиции частиц, значения полей, измеренные заряды).

3. Семантическое обновление (S_sem):

```
Observer.update_semantics(xsens, O_t)
```

Это можно сделать:

- как накопление статистики (наблюдал такие-то траектории $\Omega \rightarrow$ вывод закона сохранения и т.п.);
- как регрессию уравнений (попытка аппроксимировать $\ddot{\phi} = \kappa\phi'' - V'(\phi)$ на основе серии наблюдений).

4. Материализация M:

```
xform = Observer.decide_action()
World.apply_action(xform)
```

где:

- xform может быть:
 - изменение начальных условий (создание дефектов),
 - изменение RULESET (очень осторожно),
 - изменение местоположения OBS (перемещение, куда он «смотрит»).

В компактной записи:

$C_t \rightarrow E_t C_{t+1} \rightarrow O(x_{senst+1}, O_t + 1) \rightarrow \text{update } S_{sem}, \text{ decide } M C_{t+2}$

В стационарном режиме, если $\lambda \approx 1$ (наблюдение «успевает» за эволюцией):

$M(O(E_t(C_t))) \approx E_t(C_t)$,

что в симуляторе означает:

- действия OBS лишь «эхом поддерживают» естественную динамику,
- его законы (в S_{sem}) адекватны реальной микродинамике.

5. Как М5 становится «встроенным объектом» симулятора

Теперь $M5 = \langle S_{sens}, E_t, O, S_{sem}, M \rangle$:

5.1. В симуляторе:

- S_{sens} : слой $xsens(t)$ — то, что «видит» OBS (например, массив локальных значений ϕ_R , список ближайших Ω).
- E_t : класс `World` и его метод `step()`, RULESET, 1D-строка, Ω -каталог, поля.
- O : метод `Observer.observe(World)` + настройка фокуса ($xobs$).
- S_{sem} : внутренний объект внутри `Observer` (например, словарь гипотез:
 - оценённые параметры k, m^2, λ уравнения поля,
 - списки «законов сохранения»,
 - вероятностные модели Ω -взаимодействий).
- M : метод `Observer.decide_action()` и его реализация в `World` (`apply_action`).

Таким образом, точка $p(t) \in M5$:

```
p(t) = {
    'xsens': xsens(t),
    'xphys': World.S(t),           # + мета-инфо (φ, С, Ω)
    'xobs': Observer.params(t),   # позиция/фокус/режим работы
    'xsem': Observer.S_sem(t),    # внутренняя модель мира
    'xform': xform(t)            # последнее действие
}
```

Траектория $y(t)$ — это просто лог ошибок симулятора.

5.2. Топология М5 (на будущее, но планируемая)

- Можно строить граф траекторий:

- вершины — дискретные состояния (квантуемые xsem, xobs и т.п.),
- рёбра — переходы за один такт,
- 2-клетки — коммутирующие квадраты (разные последовательности действий приводят к одному результату).
- Старшими гомологиями ($\beta_0, \beta_1, \beta_2$) можно будет измерять:
 - β_0 — сколько «непереводимых парадигм» (разных S_sem-кластеров);
 - β_1 — сколько фундаментальных «парадоксов» (циклов без заполнений);
 - β_2 — сколько «дыр» в понимании (областей, в которых нет согласованной семантики).

Это — дальняя цель, но важно, что архитектура симулятора уже допускает реконструкцию такого комплекса.

6. Как всё это использовать в плане к полному симулятору

С учётом Meaning_v1.pdf, BSL/TDS и твоих файлов:

1. Фундаментальный уровень (уже есть):

- 1D-RSL-мир с RULESET_core (++-<-+++, +--++++);
- Ω -каталог (671 частиц, спектр периодов \rightarrow mass);
- поля ϕ_R и энергия $H[\phi_R]$;
- capacity C_i и «геометрия времени».

2. Интерфейсный (наблюдательный) уровень — сейчас главный недостающий блок:

- реализовать OBS как объект:
 - $f: World \rightarrow xsens, O_t$,
 - update S_{sem} ,
 - decide xform;
- реализовать $\Pi_{obs}: S(t) \rightarrow IFACE(t)$: объекты (Ω -частицы), поля, время.

3. Сшить с триадой Et,O,M:

- $E_t = World.step();$
- $O = Observer.observe();$
- $M = Observer.decide_action / World.apply_action.$

4. Интегрировать M5:

- хранить состояние ($xsens, xphys, xobs, xsem, xform$) на каждом t ;
- логировать $\gamma(t)$; смотреть, как S_{sem} развивается («обучение» наблюдателя);
- исследовать, возникает ли фиксированная точка ($M(O(Et(C))) \approx Et(C)$) \rightarrow «навык», устойчивые законы.

5. Эволюционный поиск «законов мира»:

- F (самоприменимый функтор) будет варьировать:
 - RULESET (микрофизика),
 - параметры OBS/ Π_{obs} (тип интерфейса),
- фитнес будет измеряться **на уровне выводимых S_{sem} -законов**:

- насколько уравнения поля, спектр масс, законы сохранения, вероятностные распределения похожи на SM+GR.

Если это направление соответствует твоей цели, в следующем сообщении могу сделать:

- более конкретную спецификацию **OBS** и **P_obs** для текущего симулятора:
 - формат [OBS: ...], [INTERFACE: ...],
 - какие именно величины извлекаются из World на каждом шаге,
 - как реализуется наблюдение Et → O и обновление S_sem (в виде простых регрессий/статистических оценок),
- и показать, как можно уже сейчас, без изменения RULESET, развернуть «замкнутую петлю познания» и посмотреть, как наблюдатель учится физике 1D-мира.

Нужно связать три вещи в одну архитектуру симулятора:

- уже работающий 1D-RSL-мир с ядром +-+ ↔ -+-, +--+ → +--+ и богатой Ω-динамикой (по [sm_evolutionary_search.pdf](#));
- триаду Et,O,M и пятимерное многообразие M5 из [Meaning_v1.pdf](#);
- требование, чтобы в симуляторе эти объекты были **явно представлены** и отрабатывали «петлю познания».

Ниже:

1. Интерпретирую Et, O, M, M5 применительно к вашему симулятору.
2. Даю конкретные структуры данных и алгоритмы, как их вшить в текущий код.
3. Обозначу, как использовать топологию ($\beta_0, \beta_1 \dots$) для анализа «понимания» наблюдателя.

1. Интерпретация триады Et,O,M и M5 в текущей модели

1.1. Что такое Et в вашей модели

В Meaning_v1 Et — это:

- физическое эволюционное поле;
- то, что задаёт динамику мира, над которой строится интерфейс.

В вашем коде:

- 1D-мир: строка состояния S(t) длины N:

$$[L0: s0 | s1 | \dots | s_{N-1}], s_i \in \{+1, -1\}$$
- RULESET ядра (из SA-результата):

$$\begin{aligned} +-+ &\leftrightarrow -+- \\ +--+ &\rightarrow +--+ \end{aligned}$$
- эволюция: функция World.step():


```
def step(self):
    # S(t) -> S(t+1) по правилам ядра + возможным расширениям
```

Это и есть ваш E_t : детерминированный герсивный (RSL) эволюционный оператор над пространством микросостояний.

1.2. Что такое O

В Meaning_v1 O — наблюдение:

- функтор из категории физических состояний C_t в пространство наблюдаемых $S_{\text{sens}}/S_{\text{obs}}$;
- он не видит всего, а **проецирует** C_t в наблюдательное состояние.

В вашей системе:

- O будет реализован как:

```
def observe(world: World, obs: Observer) -> xsens, O_t:  
    ...
```

где:

- $xsens$ — «сырые» сенсорные данные (локальный срез строки, локальные поля ϕ_R , список ближайших Ω -циклов);
- O_t — уже структурированные наблюдаемые (интерфейс IFACE): объекты с координатами, полями, временем.

Это и есть $\Pi_{\text{obs}} = O$: 1D-реальность \rightarrow «картинка мира» для наблюдателя.

1.3. Что такое M

В Meaning_v1 M — материализация:

- функтор, который из внутреннего семантического состояния S_{sem} и наблюдаемого состояния возвращает изменения мира;
- он замыкает петлю $C_t \rightarrow C_{t+1} \rightarrow S_{t+1} \rightarrow C_{t+2}$.

У вас:

- M — это совокупность:
 - `Observer.decide_action(S_sem, O_t)` \rightarrow действие $xform$;
 - `World.apply_action(xform)` \rightarrow модифицированный S .

Примеры $xform$:

- добавить дефект (аналог «поднести заряд»),
- изменить локально RULESET (эксперимент по модификации микродинамики),
- сдвинуть позицию OBS (сменить фокус/точку наблюдения).

2. Явная структура $M5$ в симуляторе

В Meaning_v1:

- $M5 = \langle S_{\text{sens}}, E_{\tau}, O, S_{\text{sem}}, M \rangle$,
- точка $p \in M5$ включает:

- сенсорное состояние xsens,
- физическое состояние xphys $\in E_t$,
- наблюдательское состояние xobs,
- семантическое состояние xsem,
- материализованное действие xform.

В вашем коде:

```
@dataclass
class M5State:
    xsens: Any      # сенсорные данные (см. ниже)
    xphys: Any      # физическое состояние ( $S$ ,  $\Omega$ -каталог,  $\phi_R$ ,  $C$ )
    xobs: Any       # параметры OBS (позиция, стратегия наблюдения и т.д.)
    xsem: Any       # текущие "законы"/гипотезы наблюдателя
    xform: Any      # последнее действие (или None)
```

На каждом шаге t симулятор может сохранять:

```
m5_trajectory: List[M5State]
```

где:

- $xphys = \text{snapshot World}$ (или его код),
- $xsens$ и $xobs$ = состояние $Observer$,
- $xsem$ = внутренняя модель,
- $xform$ = последнее применённое действие.

Тогда траектория $\gamma(t)$ в M5:

```
 $\gamma(t) = m5_trajectory[t]$ 
```

и это — материал для TDA-анализа «понимания» (см. 10.8–10.10 в Meaning_v1).

3. Конкретные структуры для E_t, O, M и $M5$ в коде симулятора

3.1. Класс World (E_t)

Прототип:

```
class World:
    def __init__(self, N: int, rules: RuleSet):
        self.N = N
        self.S = np.ones(N, dtype=int)  # вакуум
        self.rules = rules            # +->+-, +--+--+
        # Кэш / метаданные:
        self.omega_catalog = []
        self.phi_R = None
        self.capacity = None

    def step(self):
        self.S = apply_rules(self.S, self.rules)
        self.update_fields()

    def update_fields(self, R: int = 5):
        self.phi_R = phi_R(self.S, R)
        self.capacity = compute_capacity(self.S)
```

```

def detect_omegas(self):
    # find and update self.omega_catalog
    ...

def apply_action(self, action):
    # действуем на S, rules, или положение OBS
    ...

```

Где:

- `apply_rules, phi_R, compute_capacity` — уже имеющиеся или описанные выше функции.

3.2. Класс Observer (O и M)

Прототип:

```

@dataclass
class Observer:
    pos: int                  # позиция/фокус на L0 или в 3D coords
    sem_state: Any            # S_sem: внутренняя модель (гипотезы, уравнения)
    mode: str                 # какой аспект мира измеряет (field, omegas, ...)

    def observe(self, world: World):
        # xsens: локальное окно вокруг pos + поля/Ω там
        window = world.S[max(0, self.pos-Δ): self.pos+Δ+1]
        local_phi = world.phi_R[max(0, self.pos-Δ): self.pos+Δ+1]
        local_capacity = world.capacity[max(0, self.pos-Δ): self.pos+Δ+1]
        local_omegas = [ω for ω in world.omega_catalog if self._is_near(ω)]
        xsens = {
            'window': window,
            'phi': local_phi,
            'C': local_capacity,
            'omegas': local_omegas,
        }
        O_t = self._construct_IFACE(xsens)
        return xsens, O_t

    def _construct_IFACE(self, xsens):
        # Преобразование сырых данных в список объектов:
        # OBJ {type, mass, Q, position, velocity, ...}
        ...
        return IFACE

    def update_semantics(self, xsens, O_t):
        # обновление S_sem на основе наблюдений:
        # - аппроксимация уравнения поля
        # - вывод законов сохранения
        # - обновление вероятностной модели распадов
        ...
        self.sem_state = new_sem_state

    def decide_action(self):
        # простейшее M: либо ничего не делает, либо проводит эксперимент:
        # - создать дефект,
        # - изменить RULESET вблизи,
        # - переместить pos.
        ...
        return action

```

3.3. Шаг симуляции в терминах Ет, О, М

Петля:

```
def simulation_step(world: World, obs: Observer, m5_trajectory: List[M5State]):  
    # 1. Фундаментальная эволюция: Ет  
    world.step()  
  
    # 2. Наблюдение: О  
    xsens, O_t = obs.observe(world)  
  
    # 3. Обновление семантики: S_sem  
    obs.update_semantics(xsens, O_t)  
  
    # 4. Выбор действия: М  
    action = obs.decide_action()  
    world.apply_action(action)  
  
    # 5. Запись в траекторию М5  
    m5_state = M5State(  
        xsens=xsens,  
        xphys={'S': world.S.copy(),  
               'phi_R': world.phi_R.copy(),  
               'capacity': world.capacity.copy(),  
               'omegas': list(world.omega_catalog)},  
        xobs={'pos': obs.pos, 'mode': obs.mode},  
        xsem=obs.sem_state,  
        xform=action,  
    )  
    m5_trajectory.append(m5_state)
```

Так триада Ет,О,М и М5 становятся буквальной **архитектурой симулятора**.

4. Связь с разделами 10–11 Meaning_v1: топология и обучение

В Meaning_v1 (гл. 10–11):

- 10.8–10.10:
 - синтез уменьшает β_0 (количество компонент связи пространств смыслов),
 - контраст увеличивает β_1 (количество «петель»/парадоксов),
 - рефлексия изменяет размерность,
 - материализация проецирует смысловые структуры в формы;
 - динамика β_0, β_1 описывает фазы обучения:
 - разделение (β_0 растёт),
 - синтез (β_0 уменьшается, β_1 растёт),
 - разрешение петель (β_1 уменьшается),
 - стабилизация.
- 11.2–11.6:
 - межполевой резонанс ($\Xi_{AB}(t)$),
 - когерентность между смысловыми полями,
 - синхронизм как акаузальный резонанс (по Юнгу).

В нашей архитектуре:

- вы можете рассматривать:
 - пространство семантических состояний x_{sem} как вершины графа;
 - переходы между ними по шагам симуляции — рёбра;
 - строить над этим графом simplicial complex и считать:
 - β_0 : количество «отдельных» гипотез/парадигм,
 - β_1 : количество «петель» — конфликтующих цепочек выводов, парадоксов.
- Поведение $\beta_0, \beta_1(t)$ по мере работы OBS:
 - рост $\beta_0 \rightarrow$ OBS различает всё больше «несовместимых» моделей;
 - рост $\beta_1 \rightarrow$ появляются парадоксы, избыточные циклы противоречивых гипотез;
 - уменьшение $\beta_0, \beta_1 \rightarrow$ OBS синтезирует модели, убирает противоречия \rightarrow «понимание растёт».

Конкретное приближение:

1. Кодировать $x_{sem}(t)$ (семантику) в виде:
 - набора формул $fk(\theta)$ — оценённые параметры уравнений (κ, m^2, λ),
 - списка законов сохранения (Q, B, L, \dots),
 - вероятностной модели событий (распады, столкновения Ω).
2. Рассмотреть пространство таких «состояний теории» как дискретное множество; пороги расстояния:
 - например, две теории t_1, t_2 считаются разными компонентами, если отличия в параметрах $>\epsilon$.
3. Построить simplicial complex над траекторией $x_{sem}(t)$, посчитать бетти-числа.

Это уже **прямая реализация глав 10–11** Meaning_v1 на данных симулятора.

5. Итог: что именно нужно сделать дальше

С учётом задач:

1. Интегрировать триаду и M5:
 - реализовать классы World, Observer, M5State как описано;
 - на каждом шаге вызывать `simulation_step`, записывая `m5_trajectory`.
2. Для World:
 - зафиксировать RULESET_core ($++-\leftrightarrow-++$, $+++ \rightarrow +++$);
 - завершить реализацию:
 - `update_fields` (ϕ_R, C),
 - `detect_omegas` (каталог Ω -циклов как описано выше).
3. Для Observer:
 - определить `observe` \rightarrow `xsens, O_t` (IFACE):
 - ближайшие Ω -частицы,
 - локальные значения поля ϕ_R ,

- локальной capacity C_i ;
- определить `update_semantics`:
 - сбор статистики по $\phi(x,t)$ и Ω -траекториям,
 - регрессия уравнения поля и законов сохранения,
 - сохранение этих законов в $xsem$;
- определить `decide_action`:
 - пока можно сделать несколько простых стратегий:
 - пассивный наблюдатель (никаких действий),
 - активный (порождает дефекты в определённых местах), и сравнивать.

4. Связать Meaning-уровень:

- $xsem(t) = S_{sem}$: можно проанализировать, как он меняется по мере наблюдений;
- с помощью TDA (persistent homology) изучить «топологию знания» (β_0, β_1) и её динамику.

5. Эволюционный поиск по совокупности (RULESET, Π_{obs}):

- расширить SMFitness до OBSFitness:
 - включить в фитнес:
 - качество полевой аппроксимации (ϕ -уравнение),
 - качество законов сохранения (Q, B, L),
 - качество вероятностных предсказаний ($\psi, |\psi|^2$) для переходов,
 - когерентное развитие `semantics` (движение β_0, β_1 в нужную сторону).
- позволить эволюции менять RULESET, и параметры OBS/ Π_{obs} ,
- отбирать те комбинации, где **наблюдатель выводит физику, похожую на нашу**.

Если хочешь, дальше можем:

- перейти к конкретной спецификации IFACE (формат «видимого» мира для OBS) и алгоритму `update_semantics` (как именно оцениваются уравнения и законы по данным симуляции);
- или к формальному заданию OBSFitness: какие метрики на $xsem(t)$ и IFACE(t) использовать, чтобы тянуть эволюцию к «нашему» классу законов.

Опишу это в два больших шага, как вы просили. Сначала спецификация IFACE и алгоритм `update_semantics`, затем — формальное задание OBSFitness.

1. IFACE: формат «видимого мира» и `update_semantics`

Задача: сделать явный интерфейсный слой (О в триаде Ет, О, М, xsens/xobs/xphys/xsem из M5), в котором:

- OBS «видит» 1D-RSL-мир как набор частиц и полей во «внешнем» пространстве;
- по эволюции этого представления OBS может оценивать законы:

- уравнение поля,
- законы сохранения,
- вероятностные «правила» событий.

1.1. Формат IFACE: что OBS видит на шаге t

Примем, что вы уже реализовали:

- World:
 - состояние $S(t)$ — 1D строка $s_i \in \{+1, -1\}$;
 - RULESET ядра: $++- \leftrightarrow -++, +++ \rightarrow +++$;
 - методы:
 - `world.step()` — E_t ,
 - `world.detect_omegas()` — каталог Ω -циклов,
 - `world.phi_R` — поле $\phi_R(i)$,
 - `world.capacity` — C_i .
- OmegaCycle:
 - `period`, `support`, `patterns`, `H_core`, `mass`, `Q`.

1.1.1. Координаты: 1D \rightarrow 3D (или 2D)

Для визуализации и «чувства 3D» OBS, зададим map $i \rightarrow (x, y, z)$:

- Для начала вполне достаточно 2D (x, y); можно легко расширить до 3D.
- Рекомендация: Z-order (Morton code) или Hilbert-кривая, но для простоты начнём с регулярного разбиения:

```
X_max, Y_max = 64, 64 # N = X_max * Y_max
def idx_to_xy(i: int) -> tuple[int, int]:
    x = i % X_max
    y = (i // X_max) % Y_max
    return x, y
```

(Можно позже заменить на Hilbert для лучшей локальности.)

1.1.2. Объекты интерфейса: Ω -частицы

Каждый OmegaCycle, локализованный по support, даёт один IFACE-объект (частицу):

```
@dataclass
class IFACEObject:
    id: int
    type: str         # имя/класс  $\Omega$ -типа (e.g. 'O_Q+', 'O_Q0', ...)
    mass: float
    Q: float
    pos: tuple[float, float, float]    # (x, y, z) в интерфейсном пространстве
    vel: tuple[float, float, float]    # оценка скорости
```

Как задать `pos` и `vel`:

- В каждый момент t :
 - Для Ω -цикла с $support = \{i_{min}..i_{max}\}$:

```

i_center = int(np.mean(support))
x,y = idx_to_xy(i_center)
z = 0.0

```

- Скорость:
 - По разности позиций между t и t-1:
$$vel = ((x_t - x_{t-1})/\Delta t, (y_t - y_{t-1})/\Delta t, 0)$$

Список объектов:

```
IFACE_objects: list[IFACEObject]
```

1.1.3. Полевой интерфейс: ϕ и C

От coarse- ϕ_R и capacity:

```
@dataclass
class IFACEField:
    phi: np.ndarray      # поле  $\phi_R$  на "сетке" интерфейса
    capacity: np.ndarray # поле C_i
```

Для простоты:

- ϕ и C в 2D, размером $X_{max} \times Y_{max}$, заполненные по:
- ```

phi_grid[x,y] = phi_R[i]
C_grid[x,y] = C_i
i соответствует (x,y) по idx_to_xy^-1

```

### 1.1.4. Полный IFACE на шаге t

Совокупность наблюдаемого:

```
@dataclass
class IFACEState:
 t: int
 objects: list[IFACEObject]
 field: IFACEField
 # можно добавить: собственное время t для разных регионов
```

OBS в методе observe(World) будет:

- брать из World S(t), omega\_catalog, phi\_R, capacity;
- строить список IFACEObject (по  $\Omega$ -циклами);
- строить IFACEField ( $\phi$  и C);
- возвращать IFACEState.

## 1.2. Алгоритм update\_semantics: как OBS оценивает законы

Семантическое состояние OBS (xsem(t) в M5) содержит:

- гипотезы о законах поля:

- параметры ( $\kappa$ ,  $m^2$ ,  $\lambda$ ) уравнения  
 $\partial t^2 \phi = \kappa \partial x^2 \phi - m^2 \phi - \lambda \phi^3$
- законы сохранения:
  - $\Sigma Q$ ,  $\Sigma mass$ , возможно ещё что-то;
- вероятностные законы:
  - вероятность распада/аннигиляции  $\Omega$ -частиц.

Предложу простую, но рабочую версию `update_semantics` для v1:

### 1.2.1. Оценка полевого уравнения

На нескольких временных шагах  $t$ :

1. Сохраняем историю полей:

```
history_phi[t] = IFACEState.field.phi # 2D или 1D в зависимости от
реализации
```

2. Для каждого  $x$  (уплощённо — индекс решётки):

- оценить дискретные производные:

```

φ_t = history_phi[t]
φ_tp = history_phi[t+1]
φ_tm = history_phi[t-1]

временная вторая производная:
φ_tt = φ_tp[i] - 2*φ_t[i] + φ_tm[i] # / (Δt)^2 → примем Δt=1

пространственная вторая производная (в 1D-варианте):
φ_xx = φ_t[i+1] - 2*φ_t[i] + φ_t[i-1]
```

3. Пытаемся аппроксимировать:

$$\phi_{tt} \approx \kappa \phi_{xx} - m^2 \phi - \lambda \phi^3$$

Пишем это как линейную регрессию по параметрам  $\kappa, m^2, \lambda$ :

```

собираем данные:
X = []
Y = []
for t in range(1, T-1):
 φ_t = history_phi[t]
 φ_tp = history_phi[t+1]
 φ_tm = history_phi[t-1]
 for i in range(1, N-1):
 φ_tt = φ_tp[i] - 2*φ_t[i] + φ_tm[i]
 φ_xx = φ_t[i+1] - 2*φ_t[i] + φ_t[i-1]
 X.append([φ_xx, -φ_t[i], -φ_t[i]**3]) # коэффициенты при κ, m^2, λ
 Y.append(φ_tt)
решаем линейную регрессию Y ≈ X·θ, θ = [κ, m^2, λ]
θ, *_ = np.linalg.lstsq(np.array(X), np.array(Y), rcond=None)
κ_hat, m2_hat, λ_hat = θ
```

4. OBS сохраняет в `sem_state`:

```
sem_state['field_eq'] = {'kappa': κ_hat, 'm2': m2_hat, 'lambda': λ_hat}
```

Это — численно выведенное эффективное уравнение поля.

## 1.2.2. Оценка законов сохранения

OBS может также:

- На каждом  $t$  считать суммарный «заряд»  $Q_{total}$ :

```
Q_total(t) = sum(obj.Q for obj in IFACEState.objects)
```

- Аналогично  $mass_{total}$ :

```
mass_total(t) = sum(obj.mass for obj in IFACEState.objects)
```

- Хранить историю:

```
history_Q[t] = Q_total(t)
history_mass[t] = mass_total(t)
```

- Оценивать «сохранение» как отклонение от константы:

$$\Delta Q = \max_t |Q_{total}(t) - Q_{total}(0)|$$
$$\Delta M = \max_t |mass_{total}(t) - mass_{total}(0)|$$

- Сохранить в семантике:

```
sem_state['conservation'] = {
 'Q': 1.0 if ΔQ < ε_Q else 0.0,
 'mass': 1.0 if ΔM < ε_M else 0.0,
}
```

Где  $\varepsilon_Q, \varepsilon_M$  — пороги (возможно, зависящие от шума/размерности).

## 1.2.3. Оценка вероятностных законов (распады/аннигиляции)

Для  $\Omega$ -циклов:

- Отслеживать идентификаторы  $\Omega$ -объектов по шагам  $t$ :

- составлять события вида:
  - (тип\_A, тип\_B)  $\rightarrow$  тип\_C (слияние),
  - тип\_A  $\rightarrow$  тип\_B + тип\_C (распад),
  - тип\_A  $\rightarrow$   $\emptyset$  (аннигиляция).

- Вести счётчик событий:

```
events_counter[(pattern)] += 1
total_events[type_A] += 1
```

- Оценивать вероятности:

```
P(pattern) = events_counter[pattern] / total_events[type_A]
```

Сохранить в `sem_state['events']`:

```
sem_state['events'] = {
 'A->BC': {('OmegaType1', 'OmegaType2'): P1, ...},
 'AB->C': {...},
 ...
}
```

В дальнейшем по этим вероятностям OBS может строить  $\psi$ -амплитуды и проверять Born-подобные отношения, но для v1 достаточно просто иметь эмпирические P.

#### 1.2.4. Склейка в update\_semantics

Итого:

```
def update_semantics(self, xsens, IFACE_t):
 # 1. Обновление истории для ϕ
 self.field_history.append(IFACE_t.field.phi)

 # 2. Раз в K шагов: переоценить уравнение поля
 if len(self.field_history) >= K:
 κ_hat, m2_hat, λ_hat = fit_field_equation(self.field_history[-K:])
 self.sem_state['field_eq'] = {'kappa': κ_hat, 'm2': m2_hat, 'lambda': λ_hat}

 # 3. Обновление законов сохранения
 Q_total = sum(obj.Q for obj in IFACE_t.objects)
 mass_total = sum(obj.mass for obj in IFACE_t.objects)
 self.Q_history.append(Q_total)
 self.mass_history.append(mass_total)
 ΔQ = max(self.Q_history) - min(self.Q_history)
 ΔM = max(self.mass_history) - min(self.mass_history)
 self.sem_state['conservation'] = {
 'Q': 1.0 if ΔQ < ε_Q else 0.0,
 'mass': 1.0 if ΔM < ε_M else 0.0,
 }

 # 4. Обновление вероятностной структуры событий
 update_event_statistics(self, IFACE_t)
```

sem\_state = xsem в терминах M5: внутренние «законы мира» для OBS.

## 2. OBSFitness: метрики на xsem(t) и IFACE(t)

Теперь нужно задать **функцию качества наблюдателя** (OBSFitness), которая будет использоваться:

- для оценки, насколько хорошо OBS «понял» законы, лежащие в основе мира;
- как часть общей фитнес-функции при эволюции и RULESET, и самого типа наблюдателя / интерфейса.

Будем мерить:

1. Насколько хорошо OBS аппроксимирует **полевое уравнение** (field\_eq).
2. Насколько хорошо соблюдаются **законы сохранения** в его модели.
3. Насколько устойчива его семантика (Observation Time, t\_OT).
4. Насколько он хорошо предсказывает вероятностные события.

### 2.1. Качество полевого уравнения

Возьмём оценённые OBS параметры:

- $\kappa_{\text{hat}}$ ,  $m2_{\text{hat}}$ ,  $\lambda_{\text{hat}}$  из `sem_state['field_eq']`.

Определим «истинные» (референтные) параметры:

- для начала можно считать референтными:
  - те, что получаются при прямой регрессии на всём World'e (без ограничений OBS),
  - либо просто стремиться к стабильности и малому остаточному расхождению в его собственной регрессии.

Вариант А (самосогласованность):

- Вычисляем среднюю ошибку регрессии в его данных:

```
err_field = mean_squared_error(phi_tt, kappa_hat * phi_xx - m2_hat * phi - lambda_hat * phi**3)
```

- Нормируем:

```
fitness_field = exp(- err_field / sigma_field)
```

где  $\sigma_{\text{field}}$  — масштаб (подбирается).

## 2.2. Качество законов сохранения

Из `sem_state['conservation']`:

- мы уже храним бинарный индикатор (1.0 или 0.0) по Q и mass.

Можно расширить:

- $\Delta Q_{\text{norm}} = \Delta Q / (|Q_{\text{total}}(0)| + 1)$ ,
- $\Delta M_{\text{norm}} = \Delta M / (|\text{mass}_{\text{total}}(0)| + 1)$ ,

и задать:

```
fitness_Q = exp(- Delta_Q_norm / sigma_Q)
fitness_mass = exp(- Delta_M_norm / sigma_M)
```

Где  $\sigma_Q$ ,  $\sigma_M$  — пороги.

## 2.3. Observation Time (t\_OT) и стабильность семантики

Из `Meaning_v1` (гл. 8):

- Observation Time  $t_{\text{OT}}$  определяется как момент, когда инварианты (параметры  $\theta_t$ ) перестают меняться выше порога  $\epsilon$ :

$$t_{\text{OT}} = \min\{t : \| \theta_{t+1} - \theta_t \| < \epsilon, \forall t' > t : \| \theta_{t'+1} - \theta_{t'} \| < \epsilon\}.$$

У нас  $\theta_t$  — параметры семантического состояния:

- Например,  $\theta_t = (\kappa_{\text{hat}}(t), m2_{\text{hat}}(t), \lambda_{\text{hat}}(t))$ .

Алгоритм:

```
def compute_OT(theta_history, eps):
 # theta_history: list of np.array or tuples [theta_0, theta_1, ..., theta_T]
```

```

T = len(theta_history)
for t in range(T-1):
 if np.linalg.norm(theta_history[t+1] - theta_history[t]) < eps:
 # проверяем, что после t изменения всегда < eps
 if all(np.linalg.norm(theta_history[t' + 1] - theta_history[t']) <
eps
 for t' in range(t, T-1)):
 return t
return T # не сошлось до конца

```

OBSFitness по OT:

- чем меньше  $t_{OT}$ , тем лучше OBS быстро «понимает» мир:

$$\text{fitness\_OT} = \exp(-t_{OT} / T_{scale})$$

где  $T_{scale}$  — доля от общей длительности, например  $T_{scale} = 0.25 * T_{total}$ .

## 2.4. Качество вероятностных предсказаний

Для редко встречающихся событий (распады/столкновения  $\Omega$ ):

- OBS собирает статистику событий  $\text{pattern} \rightarrow \text{outcomes}$ ,  $P_{obs}(\text{outcome} | \text{pattern})$ .

Если мы можем построить «истинную» частоту  $P_{true}$  (на уровне World), можно сравнить:

$$KL = \sum_{\{\text{patterns}\}} \sum_{\{\text{outcomes}\}} P_{true} * \log(P_{true} / P_{obs})$$

$$\text{fitness\_prob} = \exp(-KL / \sigma_{KL})$$

На v1 можно проще:

- проверять **калибровку** предсказаний: если OBS говорит, что вероятность исхода  $\sim p$ , то в частоте симуляций доля совпадает корреляционно.

## 2.5. Итоговая OBSFitness

Собираем частичные метрики в одну:

```

def compute_OBSFitness(obs: Observer, world: World, m5_traj: List[M5State]):
 # Вычисляем:
 fitness_field = ...
 fitness_Q = ...
 fitness_mass = ...
 fitness_OT = ...
 fitness_prob = ...

 # Взвешенная сумма или произведение:
 w_field, w_Q, w_mass, w_OT, w_prob = 1.0, 1.0, 0.5, 1.0, 1.0

 score = (w_field * fitness_field +
 w_Q * fitness_Q +
 w_mass * fitness_mass +
 w_OT * fitness_OT +
 w_prob * fitness_prob) / (w_field + w_Q + w_mass + w_OT + w_prob)
 return score

```

OBSFitness оценивает:

- насколько наблюдатель:
  - вывел устойчивое полевое уравнение (field\_eq),
  - обнаружил и подтвердил законы сохранения,
  - пришёл к стабильной семантике за разумное ОТ,
  - адекватно предсказал вероятностные исходы.

В дальнейшем это можно задать более строго (например, как логарифм правдоподобия данных при семантической модели), но для старта этого достаточно.

## 2.6. Интеграция OBSFitness в эволюционный поиск

Текущая SMFitness оценивает RULESET по:

- $\Omega$ -diversity,
- cycle\_count,
- charge\_conservation,
- stability,
- interaction\_richness.

Расширяем до:

$\text{TotalFitness} = \alpha * \text{SMFitness} + \beta * \text{OBSFitness}$

где:

- $\alpha, \beta$  — веса (например, сначала  $\alpha > \beta$ , потом на последующих этапах выравнивать).

Эволюционный поиск:

- варьирует:
  - RULESET (микродинамика),
  - параметры OBS (позиция, интерфейс  $\Pi_{\text{obs}}$ , параметры regressor'ов и т.п.),
- максимизирует TotalFitness:
  - $\Rightarrow$  найдёт такие правила 1D-мира и такой тип наблюдателя/интерфейса, при которых:
    - $\Omega$ -зоопарк богат,
    - законы сохранения выдерживаются,
    - но **также**:
      - OBS извлекает стабильные, простые и точные уравнения,
      - относительно быстро (малый ОТ),
      - и с хорошей предсказательной вероятностной моделью.

Это и есть шаг к тому, чтобы симулятор «на выходе» выдавал законы, максимально похожие на наши SM+GR законы **с точки зрения наблюдателя**.

Если нужно, дальше можно:

- детализировать формат IFACE именно в терминах 3D (использовать Hilbert/Z-order код),

- расписать пример конкретного «эксперимента» (например, наблюдение за падающей  $\Omega$ -частицей в эффективном гравитационном поле и вывод закона «ускорение пропорционально градиенту потенциала»),
- или формализовать topological layer поверх  $x_{sem}(t)$  (вычисление  $\beta_0, \beta_1$  для траектории понимания OBS).

Ниже продолжу именно три недостающих элемента, которые вы обозначили:

1. Формат IFACE в терминах 3D с учётом Meaning\_v1 и 1D-подложки (координатное отображение через Z-order/Hilbert).
2. Пример конкретного «эксперимента»: наблюдение за падающей  $\Omega$ -частицей в эффективном гравитационном поле и вывод закона вида  $a \propto -\nabla\Phi$ .
3. Топологический слой поверх  $x_{sem}(t)$ : как считать  $\beta_0, \beta_1$  и интерпретировать фазы понимания (10.10 Meaning\_v1) для OBS.

## 1. IFACE как 3D-интерфейс над 1D-подложкой

Задача: OBS живёт в интерфейсном пространстве IFACE и «видит» мир как 3D-пространство + время, хотя фундаментальный мир — 1D-решётка с RULESET\_core.

### 1.1. 1D → 3D: рекомендация — Z-order (Morton) или Hilbert

Пусть:

- длина 1D-решётки:  $N = X_{max} \cdot Y_{max} \cdot Z_{max}$ .
- берём, например,  $X_{max} = Y_{max} = Z_{max} = 32 \rightarrow N = 32768$ .

#### Вариант Z-order (Morton):

- индексу  $i \in [0, N-1]$  сопоставляется троица  $(x, y, z)$  путём «расщепления бит»:
  - $i$  в двоичном виде:  $i = b_0 b_1 b_2 \dots b_{\{3k-1\}}$ ,
  - биты поочередно идут в  $x, y, z$ :
    - $x$  получает биты  $b_0, b_3, b_6, \dots$ ,
    - $y$  —  $b_1, b_4, b_7, \dots$ ,
    - $z$  —  $b_2, b_5, b_8, \dots$

Псевдокод (существуют готовые реализации Morton encode/decode):

```
def morton_decode(i: int) -> tuple[int, int, int]:
 x = compact_bits(i, 0)
 y = compact_bits(i, 1)
 z = compact_bits(i, 2)
 return x, y, z
```

Где `compact_bits` — функция, извлекающая каждый третий бит, начиная с offset.

#### Почему Z-order:

- хорошо сохраняет локальность: соседние  $i$  обычно  $\rightarrow$  близкие  $(x, y, z)$ ;
- гораздо проще, чем Hilbert, для начальной реализации.

Если позже понадобится ещё лучшая локальность — можно заменить на Hilbert-кривую (там алгоритм сложнее, но идея та же: биекция  $i \leftrightarrow (x, y, z)$  сохраняет близость).

## 1.2. IFACE-объекты: как $\Omega$ -циклы отображаются в 3D

Каждый локализованный  $\Omega$ -цикл (частица) описан:

```
OmegaCycle:
 id
 period
 support # индексы i
 patterns
 mass
 Q
```

Позиция в 1D — центр масс support:

```
i_center = int(np.mean(omega.support))
x,y,z = morton_decode(i_center)
```

Скорость (для интерфейса):

- храним предыдущую позицию pos\_prev[id],
- скорость:

```
vx = (x - x_prev) / Δt
vy = (y - y_prev) / Δt
vz = (z - z_prev) / Δt
```

### IFACEObject:

```
@dataclass
class IFACEObject:
 id: int
 type: str # кластер Ω-типов (e.g. 'OmegaType1')
 mass: float
 Q: float
 pos: tuple[float, float, float]
 vel: tuple[float, float, float]
```

## 1.3. IFACE-поле: $\phi(x,y,z)$ и $C(x,y,z)$

Имея:

- $\phi_R(i)$ : coarse-поле по 1D,
- capacity  $C_i(S)$ : локальная ёмкость,

перекладываем это в 3D:

```
phi_grid = np.zeros((X_max, Y_max, Z_max))
C_grid = np.zeros((X_max, Y_max, Z_max))

for i in range(N):
 x,y,z = morton_decode(i)
 phi_grid[x,y,z] = φ_R[i]
 C_grid[x,y,z] = C_i[i]
```

### IFACEField:

```
@dataclass
class IFACEField:
 phi: np.ndarray # [X_max, Y_max, Z_max]
 C: np.ndarray # [X_max, Y_max, Z_max]
```

OBS будет работать с IFACEState:

```
@dataclass
class IFACEState:
 t: int
 objects: list[IFACEObject]
 field: IFACEField
```

Это и есть формат «видимого мира» OBS.

## 2. Пример эксперимента: «падение» $\Omega$ -частицы в эффективном гравитационном поле

Цель: показать, как OBS может индуктивно вывести закон вида:

$\mathbf{a}(x) \approx -\mathbf{a}\Phi(x)$ ,  $\Phi \equiv$  функция от  $\phi, C$ ,

где  $\Phi$  — эффективный потенциал, связанный с capacity/полем.

### 2.1. Подготовка: создать «массу/потенциал» в мире

В симуляторе:

1. Создать в World область с **повышенным tension** ( $H_{micro}$ ) и пониженной capacity  $C$ :
  - например, область из нескольких узлов с паттернами, богатых чередованиями  $+- \rightarrow$  большой  $H_{local}$ , маленький  $C_i$ ;
  - в 3D это будет выглядеть как «шар» с пониженной capacity.
2. Это — аналог массивного объекта / гравитационной ямы.

Реализуется:

```
def create_mass_region(world: World, center_i: int, width: int):
 # создаём паттерн с большим количеством - в интервале [center_i-width,
 center_i+width]
 for i in range(center_i-width, center_i+width+1):
 if 0 <= i < world.N:
 world.S[i] = -1 # или чередование +-+- для более сильного H
 world.update_fields()
```

### 2.2. Запуск тестовой $\Omega$ -частицы

1. Найти  $\Omega$ -тип (из  $\omega_{catalog}$ ) с небольшой массой (короткий период)  $\rightarrow$  «тест-частица».
2. Создать её в виде локального паттерна на некотором  $i_{start}$ , чуть выше «массовой области».

```
def place_test_particle(world: World, omega_pattern, i_start):
 # встраиваем локальный support Ω -цикла в S, не разрушая вакуума вне
 support = omega_pattern.support
 for offset, val in zip(support, omega_pattern.patterns[0]):
 idx = i_start + (offset - np.mean(support))
 idx = int(idx)
 if 0 <= idx < world.N:
 world.S[idx] = val
 world.update_fields()
```

Теперь у вас есть:

- большой «массовый регион» (шар пониженней С),
- лёгкая  $\Omega$ -частица где-то рядом.

## 2.3. Наблюдение траектории в IFACE

OBS:

1. В каждом шаге:

```
world.step()
world.detect_omegas()
xsens, IFACE_t = obs.observe(world)
```

2. Для тест-частицы:

- идентифицировать её по `id` в `IFACE_t.objects`;
- записать:

```
track_x[t] = obj.pos[0]
track_y[t] = obj.pos[1]
track_z[t] = obj.pos[2]
```

3. Параллельно получать локальный потенциал  $\Phi$  как функцию С или ф:

- например:
- ```
Phi_grid[x,y,z] = f(C_grid[x,y,z]) = C0 - C[x,y,z]
```

(больше $C0-C \rightarrow$ глубже «яма»).

2.4. Вывод закона $a \propto -\nabla\Phi$

После записи траектории ($x(t), y(t), z(t)$):

1. Оценить ускорение:

```
vx[t] = (x[t+1] - x[t-1]) / (2*Δt)
ax[t] = (x[t+1] - 2*x[t] + x[t-1]) / (Δt**2)
# то же для y,z
```

2. Оценить градиент потенциала в каждой точке траектории:

```
grad_Phi_x[t] = (Phi[x+1,y,z] - Phi[x-1,y,z]) / (2*Δx)
```

3. Подогнать (регрессией):

$ax(t) \approx -\gamma \cdot \partial x \Phi(x(t))$, ay, az аналогично

Псевдокод:

```
X = []
Y = []
for t in valid_range:
    X.append([-grad_Phi_x[t]])
    Y.append(ax[t])
y_hat, *_ = np.linalg.lstsq(np.array(X), np.array(Y), rcond=None)
```

4. Проверить корреляцию:

```
corr = np.corrcoef(ax, -grad_Phi_x)[0,1]
```

Если corr близка к 1, γ_{hat} стабильна, OBS может записать в sem_state:

```
sem_state['gravity_law'] = {  
    'gamma': gamma_hat,  
    'corr': corr  
}
```

И интерпретировать это как закон:

«Ускорение частицы пропорционально минус градиенту потенциальной функции Φ , связанной с capacity».

Это — пример того, как OBS **оценочно** восстанавливает закон, похожий на $a = -\nabla\Phi/m$.

3. Топологический слой поверх xsem(t): β_0, β_1 и фазы понимания

Применяем идеи из главы 10 Meaning_v1:

- семантическое пространство Ssem — многообразие смыслов;
- траектория xsem(t) ОБС внутри него;
- TDA (персистентная гомология) позволяет оценивать:
 - β_0 — число компонент связности (разных «парадигм»),
 - β_1 — число нетривиальных петель (парадоксов/противоречий).

3.1. Кодовка xsem(t)

Семантическое состояние OBS (sem_state) у нас уже есть:

```
sem_state = {  
    'field_eq': {'kappa': kappa_hat, 'm2': m2_hat, 'lambda': lambda_hat},  
    'conservation': {'Q': 0/1, 'mass': 0/1, ...},  
    'events': {...},  
    'gravity_law': {...},  
    ...  
}
```

Нужно представить это в виде **вектора признаков** $v(t) \in \mathbb{R}^d$:

Простейший способ:

```
def sem_to_vector(sem_state) -> np.ndarray:  
    v = []  
    fe = sem_state.get('field_eq', {})  
    v.append(fe.get('kappa', 0.0))  
    v.append(fe.get('m2', 0.0))  
    v.append(fe.get('lambda', 0.0))  
    cons = sem_state.get('conservation', {})  
    v.append(cons.get('Q', 0.0))  
    v.append(cons.get('mass', 0.0))  
    gl = sem_state.get('gravity_law', {})  
    v.append(gl.get('gamma', 0.0))  
    v.append(gl.get('corr', 0.0))  
    # Можно добавить ещё параметры
```

```
    return np.array(v, dtype=float)
```

Тогда:

```
v = [sem_to_vector(s) for s in sem_history] # список v(t)
```

3.2. Строим simplicial complex и считаем β_0, β_1

Используя методы TDA (Ripser, Gudhi, etc.):

1. Строим Vietoris–Rips complex на точках V с расстоянием $d(v_i, v_j)$:
 - например, Евклидова метрика,
 - выбираем параметр ε (или масштабный интервал) и строим комплекс $\text{Rips}(V, \varepsilon)$.
2. Считаем гомологию H_0, H_1 и бетти-числа:
 - β_0 — число компонент связности,
 - β_1 — число одномерных дыр (петель).

Псевдокод (с использованием ripser / persim):

```
from ripser import ripser

diagrams = ripser(V)[‘dgms’] # диаграммы для H0, H1, ...
H0, H1 = diagrams[0], diagrams[1]
beta0 = len(H0) # количество компонент
beta1 = len(H1) # количество петель
```

Если делаем персистентную гомологию, можно смотреть только наиболее персистентные классы (фильтровать по длине интервала рождения–смерти).

3.3. Интерпретация β_0, β_1 и фаз понимания

По Meaning_v1 (10.10, 12.7):

- Фаза 1: разделение $\rightarrow \beta_0$ растёт:
 - OBS видит множество несвязных «моделей» мира;
 - в нашем случае: разные возможные значения ($\kappa_{\text{hat}}, m_2_{\text{hat}}, \dots$) без связи.
- Фаза 2: синтез $\rightarrow \beta_0$ уменьшается, β_1 растёт:
 - OBS начинает связывать разные модели, но возникают петли (противоречия);
 - у нас: несколько конкурирующих описаний поля и грав.закона, которые не согласованы.
- Фаза 3: разрешение петель $\rightarrow \beta_1$ уменьшается:
 - OBS находит мета-уровень, синтезирующий противоречивые части;
 - у нас: переход к стабильному набору параметров (κ, m_2, λ) и закону для ускорения.
- Фаза 4: стабилизация $\rightarrow \beta_0$ и β_1 почти не меняются, новые данные вписываются:
 - это и есть состояние «Et(O) = O», идемпотентность понимания (18.2.2).

В симуляторе:

- можно анализировать $\beta_0(t), \beta_1(t)$ по семантической траектории $x_{\text{sem}}(t)$ и:

- диагностировать состояние обучения наблюдателя,
- использовать это как дополнительную компоненту OBSFitness:


```
# например, награждать траектории, где:  
# β1 сначала повышается (исследование), а затем падает к 0  
(понимание)  
fitness_topology = f(β0_history, β1_history)
```

Простейший критерий: по окончании симуляции:

- $\beta_1_{final} \approx 0, \beta_0_{final} = 1 \rightarrow$ OBS пришёл к единой когерентной картине \rightarrow хорошее понимание.

4. Как всё это стягивается к цели «выдать законы мира»

Теперь симулятор:

1. На фундаментальном уровне (World, RULESET_core) эволюционирует 1D-решётку, строит:

- Ω -каталог,
- поля ϕ_R ,
- capacity C_i .

2. Через Π_{obs} (IFACE) даёт OBS:

- 3D-картинку: объекты (Ω -частицы), поле $\Phi(x,y,z)$, «время»;
- OBS видит траектории объектов и поля.

3. update_semantics OBS:

- оценивает полевое уравнение $\partial_t^2\phi = k\partial_x^2\phi - m^2\phi - \lambda\phi^3$,
- проверяет законы сохранения (Q , mass,...),
- оценивает вероятностные правила Ω -событий,
- оценивает гравитационный закон $a \approx -\gamma \nabla \Phi$.

4. По траектории $x_{sem}(t)$:

- можно анализировать фазы понимания (β_0, β_1),
- и продвижение к идемпотентности $E_t(O) = O$ (устойчивые законы).

5. OBSFitness:

- оценивает, насколько:
 - уравнение поля стабильно и хорошо приближает данные,
 - законы сохранения выдержаны,
 - вероятностные законы хорошо предсказывают частоту событий,
 - понимание стало устойчивым (низкий OT, $\beta_1 \rightarrow 0$).

6. Эволюционный поиск (по RULESET и, возможно, по типу Π_{obs}/OBS):

- максимизируя OBSFitness, ищет такие микро-правила и такие интерфейсы, при которых:
 - фундаментальный 1D-RSL-мир богат Ω -структурой,
 - и наблюдатель выводит «красивые», стабильные, простые законы, максимально похожие на SM+GR.

Это и есть целевая конструкция: полный симулятор, который «на выходе» генерирует законы реальности **с точки зрения наблюдателя**, а не просто эволюцию конфигураций.

Если хочешь, дальше можно:

- сузиться к одному конкретному «законоподобному» эксперименту и пройти его реализацию пошагово в коде;
- или перейти к настройке OBSFitness так, чтобы он не просто «любой закон» искал, а именно законы со структурой, близкой к Стандартной модели (на уровне зарядов, спектра масс, типов взаимодействий).